

T.C.

KIRIKKALE ÜNİVERSİTESİ

TIP FAKÜLTESİ

ANESTEZYOLOJİ VE REANİMASYON ANABİLİM DALI

BİSPEKTRAL İNDEKS VE HOLTER MONİTORİZASYONU
ALTINDA DÜŞÜK VE YÜKSEK AKIMLI DESFLURAN ANESTEZİSİNDE
HEMODİNAMİK ETKİLERİN İNCELENMESİ

DR.YILDIZ BABADAĞ

UZMANLIK TEZİ

Kırıkkale Üniversitesi Tıp Fakültesi Kütüphanesi
Demirbaş/Kayıt no.: T109
Tasnif no.: TUT/3/AR/8109/1009

TEZ DANIŞMANI
PROF.DR.AL PASLAN APAN

KIRIKKALE

2009

KIRIKKALE ÜNİVERSİTESİ
TIP FAKÜLTESİ
ANESTEZYOLOJİ VE REANİMASYON
ANABİLİM DALI

Anesteziyoloji ve Reanimasyon Dalı uzmanlık programı çerçevesinde yürütülmüş olan bu çalışma, aşağıdaki juri tarafından **UZMANLIK TEZİ** olarak kabul edilmiştir.

Tez Savunma Tarihi:
Ağustos 2009

Prof. Dr. Alpaslan Apan
Kırıkkale Üniversitesi Tıp Fakültesi
Anesteziyoloji Ve Reanimasyon AD
Jüri Başkanı

Prof. Dr. Ünase Büyükköçak
Kırıkkale Üniversitesi Tıp Fakültesi
Anesteziyoloji Ve Reanimasyon AD

Yard. Doç. Dr. Gökşen Öz
Kırıkkale Üniversitesi Tıp Fakültesi
Anesteziyoloji Ve Reanimasyon AD

TEŞEKKÜRLER

Tıpta uzmanlık eğitimim süresince teorik ve pratik bilgi ve deneyimlerinden yararlandığım ve sonsuz hoşgörülerini esirgemeyen çok saygıdeğer hocalarım Sayın Prof. Dr. Alpaslan Apan, Sayın Prof. Dr. Ünase Büyükoçak, Sayın Doç. Dr. Şaziye Şahin, Sayın Doç. Dr. Çetin Kaymak, Sayın Yard. Doç. Dr. Gökşen Öz, Sayın Yard. Doç. Dr. E. Arzu Köse'ye,

Beni her zaman destekleyen, yalnız bırakmayan, asistanlığım boyunca her şeyi öğrenebilmem için sınırları bile zorlayan saygıdeğer tez hocam Prof. Dr. Alpaslan Apan'a,

Özellikle yoğun bakım olmak üzere uzmanlığımızla ilgili teorik ve pratik bir çok tecrübelerini benimle paylaşan, pratiğimi geliştirmem için tüm gayretini sarfeden sevgili ve saygıdeğer hocam Prof. Dr. Ünase Büyükoçak'a,

Tek bir cümlesi ile hayatma yön veren, en sıkıntılı anımda dahi varlığını yanında hissettiğim, uzakta olmasına rağmen desteğini benden hiç esirgemeyen, sadece tıp değil hayat uzmanlığı ile ilgili de bana pek çok şey öğreten sevgili ve saygıdeğer hocam Doç. Dr. Şaziye Şahin'e,

Tezimin mimarı olan, manevi olarak bana devamlı destek veren, tezimin tamamlanması için en yoğun anında bile dakikalarını bana ayıran çok değerli hocam Doç. Dr. Çetin Kaymak'a,

Asistanlığımın ilk yılında bana manen yetişip destek veren ve sonraki yıllarda da dostluklarını hep hissettiren sevgili arkadaşlarım Dr. Yasemin Şahin ve Dr. Esra Aykaç'a,

Asistanlığım boyunca iyi kötü pek çok şeyler paylaştığım çok değerli arkadaşlarım Dr. Yasemin Pekuz, Dr. Hilmi Koputan, Dr. Serkan Güler, Dr. Gülçin Aydın, Dr. Elif Şenses, Dr. Hakan Gündoğan, Dr. İzzet Yıldız, Dr. Gülnaz Ateş'e,

Tezime dahil ettiğim Plastik ve Rekonstruktif Cerrahi hastaları için benden yardımlarını esirgemeyen çok değerli hocalarım Doç. Dr. İbrahim Vargel, Yard. Doç. Dr. Tarık Çavuşoğlu, Yard. Doç. Dr. İlker Yazıcı'ya ve

hastaları hazırlarken bana sabır gösteren sevgili asistan arkadaşlarım Dr. Cahit Vural ve Dr. İbrahim Esen Karakaya'ya,

Farmakoloji AD ve Dahiliye AD rotasyonlarında benimle tecrübelerini paylaşan saygıdeğer hocalarım Prof. Dr. Zuhal Aktuna ve Doç. Dr. Sefa Güliter'e,

Tezimin Holter kayıt aşamasında bana yardımcı olan Kardiyoloji AD'nin çok değerli hocası Yard. Doç. Dr. Tolga Doğru'ya,

Asistanlığım süresince uyumlu bir çalışma gösterdiğim ameliyathane ve yoğun bakım personeli ve hemşirelerine,

Doğduğum andan itibaren hayatımın her saniyesinde beni yalnız bırakmayan, iyi-kötü her konuda bana destek verip hep arkamda olan ve onlarsız yapamayacağım sevgili annem ve babama,

Doktor olmadan hiç memnun olmayan, ders çalışmamdan sıkılan, hayatımın anlamı, kendi küçük sabrı büyük olan, biricik aşkim oğlum Gökdeniz'e,

Uzman olmam için bana destek veren, iyi-kötü günlerimde hep yanımada olan, gerçek dostum ve kardeşim Sultan Ermiş ve eşi Erdal Ermiş'e

Benim tıp fakültesine başlamama sebep olan, beni her zaman seven canım, birtanem ağabeyim Koray Kök, eşi Meltem Kök ve yeğenim Ecem'e

Ve sevgili eşime.....

Teşekkür ederim.

Dr.Yıldız Babadağ

ÖZET

Babadağ Y., Bispektral İndeks ve Holter Monitorizasyonu Altında Düşük Ve Yüksek Akımlı Desfluran Anestezisinde Hemodinamik Etkilerin İncelenmesi, Kırıkkale Üniversitesi Tıp Fakültesi Anesteziyoloji Anabilim Dalı Uzmanlık Tezi, KIRIKKALE, 2009

Amaç: Bu çalışmada desfluran ile düşük ve yüksek akım anestezi uygulamasının hemodinamik ve EKG değişikliklerinin Bispektral indeks ve holter monitorizasyonu ile karşılaştırılması amaçlanmıştır.

Materyal ve Metod: Lokal Etik Kurul Onayı ile genel anestezi altında septorinoplasti operasyonu yapılacak olan ASA I/II sınıfı 49 hasta dahil edildi. Hastalar randomize olarak yüksek akım (Grup I), düşük akım (Grup II) desfluran anestezisi olmak üzere 2 gruba ayrıldı, BIS ve Holter monitorizasyonu yapıldı. Yüksek akım grubundaki hastalarda (Grup I), %50 N₂O+%50 O₂ (4 lt/dk akım) ile %4-6 konsantrasyonda desfluran verildi. Düşük akımlı genel anestezi uygulanacak hastalarda (Grup II), 10 dakika boyunca %70 N₂O+%30 O₂ (4,4 lt/dk akım) ile %4-6 konsantrasyonda desfluran uygulaması ardından; %50 N₂O+%50 O₂ (1 lt/dk⁻¹ akım) ile desfluran konsantrasyonu %0.5-1 daha artırılarak anestezi idamesi artırıldı. Anestezi sonlandırılmadan 10 dakika önce yüksek akıma geçildi. Operasyon sırasında her iki gruptaki hastalara 1 mg/kg bolus, 1,5 mg/kg/saat dozda esmolol infüzyonu uygulandı. Erken derlenme döneminde Modifiye Aldrete Derlenme Skoru ve komplikasyonları değerlendirildi.

Bulgular: Hemodinamik değişikliklerde indüksiyon dışında fark saptanmadı. Grup I hastalarında cerrahi insizyon, 15, 30, 45. dakikalarda Minimal Alveolar Konsantrasyon değerlerinde anamlı artış saptandı. Global sempatik indeks ve düşük frekanslı komponent Grup II'de operasyon süresince artış gösterirken, yüksek frekanslı komponent lokal anestezi ve cerrahi insizyonda Grup I'de artış gösterdi.

Sonuç: Düşük akım desfluran anestezisi intraoperatif QT dispersiyonunda belirgin bir değişiklik göstermedi, öte yandan global sempatik aktivitede artış

saptandı. Bunun tersine parasempatik aktivite yüksek akımlı desfluran anestezisi ile artış gösterdi. Düşük akım desfluran anestezisinde esmolol infüzyonu yapıldığında anestezik konsantrasyonunun azaltılabileceği sonucuna varılmıştır.

Anahtar Kelimeler: Genel anestezi, volatil, desfluran, düşük akım, holter monitorizasyonu, QT dispersiyon

ABSTRACT

Babadağ Y.,The haemodynamic effects of Low and High Flow Desflurane Anaesthesia under Bispectral Index and Holter Monitors, Kırıkkale University, Faculty of Medicine, Department of Anaesthesia, Specialization Thesis, KIRIKKALE, 2009.

Aim: This study was subjected to compare the haemodynamic and electrocardiographic changes during high and low flow desflurane anaesthesia using BIS and holter monitors.

Materials and methods: After Local Ethics Committee approval, forty-nine ASA class I and II patients undergoing septorhinoplasty with general anaesthesia were included to the study. Patients were randomly assigned to high and low flow desflurane anaesthesia, BIS and Holter monitors were applied. Desflurane % 4-6 in %50 N₂O and O₂ mixture was administered to the high flow group patients (Group I). Desflurane %4-6 with N₂O %70 in O₂ mixture (4,4 l/min) was administered at first 10 min and followed with N₂O %50 in O₂ (1 L·min⁻¹) with increase in desflurane at 0.5-1% in the low flow group (Group II). Anaesthesia was changed to high flow 10 min before discontinuation. Esmolol 1 mg/kg bolus and 1.5 mg/kg/h infusion was started to all patients during the operation. Modified Aldrete's score and complications were assessed during the early recovery period.

Results: Haemodynamic variables unchanged except induction. Minimal Alveolar Concentration values increased at surgical incision, 15th, 30th and 45th min in Group I. While high frequency component was high in Group I during local anaesthesia, and surgical incision; global sympathetic index and low frequency index increased in Group II during the operation.

Conclusion: Low flow desflurane anaesthesia did not significantly influence intraoperative QT dispersion, on the other hand, global sympathetic activity increased. In contrary, parasympathetic activity increased with high flow desflurane anaesthesia. It was concluded that anaesthetic concentration may

İÇİNDEKİLER

ONAY SAYFASI.....	iii
TEŞEKKÜR.....	iv
ÖZET.....	vi
ABSTRACT.....	viii
İÇİNDEKİLER.....	x
SİMGELER VE KISALTMALAR.....	xii
ŞEKİLLER, RESİMLER, TABLOLAR.....	xvi
GRAFİKLER.....	xvii
GİRİŞ VE AMAÇ.....	1
GENEL BİLGİLER.....	3
2.1.İnhalasyon Anestezikleri.....	3
2.1.1.İnhalasyon Anesteziklerin Hemodinamik Etkileri.....	5
2.2. Desfluran.....	10
2.3. Esmolol.....	14
2-3-1. Esmololün kullanım şekli ve dozu.....	16
2.4. Düşük Akımlı Anestezi.....	16
2.4.1.Düşük Akımlı Anestezinin Avantajları.....	22
2.4.2.Düşük Akımlı Anestezide Hasta Güvenliği Boyutu.....	24
2.4.3 Düşük Akımlı Anestezi Tekniklerinin Kontrendikasyonları.....	26
2.5. Holter monitorizasyonu.....	27
2.6. QT Dispersiyonu.....	30
2.7. Kalp Hızı Değişkenliği.....	31
2.8. Bispektral İndeks.....	31
2.9. Modifiye Aldrete Derlenme Skoru.....	34
GEREÇ VE YÖNTEM.....	35
BULGULAR.....	38
TARTIŞMA.....	50
SONUÇ VE ÖNERİLER.....	56

SİMGELER VE KISALTMALAR

- KHD : Kalp Hızı Değişkenliği
YF : Yüksek Frekans Komponenti
DF : Düşük Frekans Komponenti
ark. : Arkadaşları
ASA : American Society of Anesthesiology
 N_2O : Azot protoksit
MAK : Minimum Alveolar Konsantrasyon
SSS : Santral Sinir Sistemi
Na : Sodyum
Ca : Kalsiyum
 β_1 : Beta 1
 α_2 : Alfa 2
 α_1 : Alfa 1
A-V : Atrioventrikuler
 O_2 : Oksijen
atm : Atmosfer
mmHg: Milimetre civa
 $^{\circ}C$: Santigrat derece
lt : Litre
dk : Dakika
vol : Volum
TEC 6: Teknesyum 6
 CO_2 : Karbon dioksit
CO : Karbonmonoksit
 $-CF_2$: Diflorometiletil
Pa CO_2 : Arteriyel Karbondioksit Basıncı
EEG : Elektroensefalografi
g : Gram
ml : Mililitre

- mg : Miligram
µg : Mikrogram
kg : Kilogram
sa : Saat
FiO₂ : İnspiratuvar Oksijen Konsantrasyonu
cmH₂O: Santimetre su
vol : Volum
i.v : İntravenöz
SIMV : Senkronize Aralıklı Zorunlu Ventilasyon =Syncronized Intermittent Mandatory Ventilation
CFC : Kloroflorokarbon
mgH₂O: Miligram su
kcal : Kilokalori
H : Hidrojen
Hb : Hemoglobin
NaOH : Sodyum Hidroksit
KOH : Potasyum Hidroksit
Ca(OH)₂-laym: Kalsiyum Hidroksi-laym
DM : Diabetes Mellitus
Dr. : Doktor
EKG : Elektrokardiyografi
WPW : Wolf-Parkinson White
QTd : QT dispersiyonu
KH : Kalp Hızı
msn : Milisaniye
QTc : Düzeltilmiş QT
QTcd : Düzeltilmiş QT dispersiyonu
DF/YF: Düşük Frekans Komponenti/Yüksek Frekans Komponenti
Hz : Hertz
BIS : Bispektral İndeks
EMG : Elektromiyografi
AS : Aldrete Skorlama

- MADS: Modifiye Aldrete Skorlama
ASBÜ : Anestezi Sonrası Bakım Ünitesi
G : Gauge
sa : Saat
 SpO_2 : Periferik Oksijen Saturasyonu
 K^+ : Potasyum
SAB : Sistolik Kan Basıncı
DAB : Diastolik Kan Basıncı
OAB : Ortalama Arteriyel Basınç
MV : Dakika Ventilasyonu
 $FetO_2$: Ekspiratuar Oksijen Konsantrasyonu
 FiN_2O : İnspiratuar Azot Protoksit Konsantrasyonu
 $FetN_2O$: Ekspiratuar Azot Protoksit Konsantrasyon
 $FetCO_2$: End-Tidal Karbondioksit Konsantrasyonu
 $FetDes$: Ekspiratuar Desfluran Konsantrasyonu
 $FiDes$: İnspiratuar Desfluran Konsantrasyonu
SD : Standart Deviasyon
KHmin: Minimum Kalp Hızı
KHmax: Maksimum Kalp Hızı
OKH : Ortalama Kalp Hızı
AES : Arteriyel Ekstrasistol
VES : Ventrikuler Ekstrasistol
GSİ : Global Sempatik İndeks
Max : Maksimum
Min : Minimum
Ent : Entübasyon
Ekst : Ekstübasyon
DA : Düşük Akım
LA : Lokal Anestezi
Cİ : Cerrahi İnsizyon
ÇDF : Çok Düşük Frekans Komponenti
DFn : Normalize Düşük Frekans Komponenti

YFn : Normalize Yüksek Frekans Komponenti
PT : Protrombin Zamanı
PTT : Parsiyel Tromboplastin Zamanı
Htc : Hematokrit
Plt : Platelet
AST : Aspartat Aminotransferaz
ALT : Alanin Aminotransferaz
Cre : Kreatin
Alb : Albumin
İnd : İndüksiyon

ŞEKİLLER

Şekil I:	Desfluran Formülü.....	10
Şekil II:	Esmololün kimyasal yapısı.....	14
Şekil III:	Normal EKG.....	30

RESİMLER

Resim I:	Holter monitorizasyonu sırasında yakalanan bir aritmi.....	28
Resim II:	İntrooperatif Holter monitorizasyonunda görülen aritmiler.....	28
Resim III:	Holter Cihazı.....	29

TABLOLAR

Tablo I:	Desfluranın Doku Çözünürlük Katsayıları.....	10
Tablo II:	Desfluranın Farklı Yaş Gruplarında MAK Değerleri.....	11
Tablo III:	Düşük Akımlı Anestezi Teknikleri.....	18
Tablo IV:	BIS Düzeyine Göre Klinik Durum Ve EEG'nin Esas Özellikleri....	33
Tablo V:	Modifiye Aldrete Skoru (Anestezi Sonrası Derlenme Skoru).....	34
Tablo VI:	Hastaların dermografik değişimleri, operasyon süreleri anestezi süreleri.....	38
Tablo VII:	İntrooperatif KH, RR, QT, QTd, QTc, QTcd değişimleri.....	44
Tablo VIII:	İntrooperatif ÇDF, DF, YF, Total, DF/YF değişimleri.....	45
Tablo IX:	İntrooperatif DFn, YFn, GSİ değişimleri.....	46
Tablo X:	Preoperatif hematolojik, karaciğer-böbrek fonksiyonları, koagulasyon testlerindeki değişimler.....	47
Tablo XI:	Postoperatif hematolojik, karaciğer -böbrek fonksiyonları,	

koagulasyon testlerindeki değişimler.....	48
Tablo XII: Erken postoperatif dönemde MADS değişimleri.....	49

GRAFİKLER

Grafik I: Grupların Sistolik Arter Basınç (SAB) Değişiklikleri.....	39
Grafik II: Grupların Diastolik Arter Basınç(DAB) Değişiklikleri.....	39
Grafik III: Grupların Ortalama Arter Basınç (OAB) Değişiklikleri.....	40
Grafik IV: Grupların Kalp Hızı (KH) Değişiklikleri.....	40
Grafik V: Grupların Minimum Alveoler Konsantrasyon (MAK) Değişiklikleri.....	41
Grafik VI: Grupların Ekspiratuar Gaz Konsantrasyon (Fet Des) Değişiklikleri.....	42
Grafik VII: Grupların End-Tidal Karbondioksit Konsantrasyon (Fet CO ₂) Değişiklikleri.....	42
Grafik VIII: Grupların Bispektral İndeks (BIS) Değişiklikleri.....	43

AMAÇ

İnhalasyon anesteziklerinin, kardiyovasküler sistem ile ilgili etkileri oldukça kompleks olup, hemen tümü dozla ilişkili olarak miyokardiyal depresyon, atım hacmi ve arteriyel basınçta düşmeye neden olmaktadır. Anestezi pratiğinde indüksiyon, entübasyon, cerrahi stimülasyon gibi işlemlere karşı hastaların bireysel yanıtları; kardiyovasküler sistem kapasitesi, preoperatif kullanılan ilaçlar, anestezi tipi ve seçilen ajanlar ile otonom sinir sistemi gibi pek çok faktörden etkilenmektedir (1,2).

Genel anestezi altında kardiyovasküler otonomik tonusun incelenmesi, özellikle kullanılan ajanların kardiyak etkileri hakkında önemli bilgiler verebilmektedir. Sempatik ve parasempatik denge hakkında bilgi veren kalp hızı değişkenliği (KHD) analizi, kardiyak otonomik tonusun bir ölçütü olarak kullanılmaktadır. KHD, sinus hızında zaman içinde meydana gelen siklik değişiklikler olarak tanımlanmaktadır. KHD'nin yüksek frekans komponenti (YF), kardiyak parasempatik regülasyonunu; düşük frekans komponenti (DF) ise, kalbin sempatik modülasyonunu göstermektedir (3). Aynı zamanda KHD, anestezi derinliğinin ölçülmesinde önemli bir parametre olarak da kullanılmaktadır (4).

Yüksek akımlı desfluran anestezinin hemodinamik etkileri deneysel çalışmalarında (2,5-8), kardiyak cerrahi (9-12) ve non-kardiyak cerrahi (13-15) olgularında araştırılmıştır. Buna karşın, düşük akımlı desfluran anestezisine ait hemodinamik etkilerin incelendiği sınırlı sayıda çalışmalar bulunmaktadır (16-19). Perioperatif ventriküler ritim bozuklukları, yapısal kalp hastalıklarına bağlı elektriksel değişimlere ve/veya geçici fizyolojik değişikliklere bağlanmaktadır. Perioperatif ventriküler aritmilerin görülmeye oranları ile ilgili farklı sonuçlar bildirilmektedir.

Forest ve ark. (20), genel anestezi altında nonkardiyak cerrahi geçen ASA I-II, 17.201 olguda ventriküler disritmi oranını %63, ciddi yan etkilerin oluşma oranını ise % 0.6 olarak bildirmiştir.

Paris ve ark. (21), iki farklı inhalasyon ajanının disritmi oluşumuna etkilerini inceledikleri çalışmalarında, halotana bağlı olarak %62, sevoflurana bağlı olarak %26 oranında disritmi bildirmiştir. Sonuçların bu kadar farklı olmasında, kullanılan anestezik ajanların önemi vurgulanmıştır.

Desfluran, yağ ve kandaki düşük çözünürlülüğü, hızlı alınım ve düşük metabolizma oranları, geniş bir doz aralığında ayarlanabilen vaporizatörü yanı sıra sodalaym içinde stabilité göstermesi gibi farmakokinetik özellikleri nedeniyle düşük akımlı anestezi tekniği için uygun bir inhalasyon anestezisi olarak kabul edilmektedir (22,23).

Endoskopik sinüs cerrahisinde kontrollü hipotansiyon uygulaması cerrahi kanamanın azaltılması ve operasyon süresinin kısaltılması açısından tercih edilmektedir. Esmololun kontrollü hipotansiyon için kullanılan diğer ajanlara üstünlüğü gösterilmiştir(24)

Desfluran ile düşük akım uygulaması sırasında esmolol infüzyonunun hemodinamik ve aritmojenik etkileri bilinmemektedir. Esmolol ile kontrollü hipotansiyon uygulanan septorinoplasti hastalarında desfluran ile oluşturulan düşük akımın holter monitörizasyonu ile hemodinamik ve aritmojenik etkilerini incelemeyi amaçladık.

GENEL BİLGİLER

2.1. İnhalasyon Anestezikleri

Günümüzde klinik anestezide halotan, enfluran, azot protoksit (N_2O), izofluran ve son yıllarda popüler sevofluran ve desfluran kullanılmaktadır. İnhalasyon anesteziklerinin fizikokimyasal özellikleri ile anestezik etkinliği arasında korelasyon olması genel anestezik etki mekanizmasını açıklamada yardımcı olmaktadır. Örneğin; anestezik etkinlik ile lipid erirliliği arasındaki ilişki göze çarpmaktadır. Anestezinin bazı moleküller hipotezleri tüm organizmadaki anestezik etkinin ortaya çıkışını açıklamaktadır. Anestezik madde uygulanması ile hızla bilinç kaybı ve uygulamanın kesilmesini takiben hemen uyanmanın olması nedeniyle anestezik etki mekanizmasında dakikalar içinde önemli fiziksel ve biyokimyasal değişikliklerin olması gerekmektedir (25).

Bir inhalasyon anestezik ajanının etkinliğinin ifade edilmesinde en iyi değerlendirmeyi yapmak için minimum alveolar konsantrasyon (MAK) tanımlanmıştır. MAK bir atmosfer (atm.) basıncında anestezik madde uygulanan insanların (veya hayvanların) %50'sinde belirli bir ağrılı uyarana, örneğin cerrahi cilt insizyonuna karşı hareketsizliği sağlayan alveolar anestezik madde yoğunluğu olarak tanımlanmaktadır (26). MAK anestezinin değişik evrelerinin değerlendirilmesinde farklı kavramlar olarak kullanılabilmekte ve farklı değerler göstermektedir. Örneğin; cerrahi insizyona cevapsızlığı sağlayan MAK değerine göre, verbal komutlara cevap vermesine izin veren MAK ayılma (27) daha düşük, endotrakeal entübasyona karşı hareketin ve öksürüğün önlediği MAK entübasyon (28) ve venöz kanda katekolamin düzeyleri ölçülecek gösterilen cerrahi insizyona adrenerjik cevabın önlediği MAK BAR (blocking adrenergic response) (29) ise daha yüksek anestezik madde konsantrasyonlarını tanımlamaktadır. Alveolar

konsantrasyonun ölçülmesinin sağladığı yarar kısa süren dengelenme süresinden sonra bu konsantrasyonun direkt olarak santral sinir sistemi (SSS) anestezik madde parsiyel basıncını göstermesidir ve bu anestezik maddenin diğer dokulara alım ve atılımına bağımlı olmamaktadır. Ayrıca MAK değeri anestezik ajanlar arasında karşılaşturma yapmayı ve deneyel çalışmalar için standardizasyon yapılmasını sağlamaktadır. Farklı anestezik ilaçların MAK düzeyleri genellikle aditif etkili olmaktadır. Örneğin 0.5 MAK N₂O (%53) ve 0.5 MAK halotan (%37) karışımının SSS'de depresif etkileri yaklaşık olarak 1.0 MAK enflurana eşit olmaktadır. SSS etkilerinin tersine miyokardiyal depresif etkileri aynı MAK düzeylerinde eşit olmamaktadır: 0.5 MAK halotan, 0.5 MAK N₂O'ya göre daha fazla miyokardiyal depresyona neden olmaktadır (30).

İnhalasyon anestezikleri selektif olarak SSS'nin bazı bölümlerinde nöronal aktiviteyi değiştirmektedirler. Bilinç ve uyanıklık durumunda değişiklik ve motor aktivitede düzenlemeye beyin sapı retiküler formasyon rol oynadığı için, bu bölgenin yapısı anestezik etkide önem arzettmektedir. Anestezi "retiküler assendan sistemde" aktivite azalması olarak tanımlanmaktadır (31).

İnhalasyon anestezikleri ile spinal kordda inhibitör ve eksitator nörotransmisyonun her ikisi de bozulabilemektedir. Anestezik etki, ajanın konsantrasyonuna, kısmende spinal kord yolaklarına bağlı olmaktadır. İnhalasyon anestezikleri, spinal dorsal boynuzun (sensoriyel) ağırlı ve ağrısız stimuluslara karşı cevabını değiştirmektedirler ve ayrıca spinal motor nöronlarında deprese etmektedirler (32). İnhalasyon anestezikleri özellikle izofluran ve N₂O spinal kordun motor nöronlarının uyarılabilirliğini gösteren F dalga amplitütünü deprese etmektedir (33). Spinal kord üzerine bu direk etkiye ek olarak beyinden modülatör sistemden gelen tonik uyarıları değiştirerek aktivitesini indirek olarak etkileyebilmektedir (32, 34).

Pek çok araştırmacı cerrahi anestezinin supraspinal etkilerden olduğu görüşünde birleşmektedir. Ancak inhalasyon anestezikleri ile çeşitli beyin yapıları arasındaki olası etki amnezi gelişimini sağlasa da ağırlı uyarılara motor cevabin oluşumunu engelleyen anestezik etki beyinin değil spinal kordun etkilenmesi sonucu olmaktadır. Anestezi, amnezi ve ağırlı stimuluslara karşı hareketsizlik olarak iki komponentle tanımlanmaktadır. Bu

durumda inhalasyon anestezikleri supraspinal ve spinal bölgeye de etkili olmaktadır (35). Inhalasyon anesteziklerinin sinaptik bölgedeki etkileri sinir terminalindeki afferent akson üzerinden olmaktadır. Inhalasyon anestezikleri izole olarak mono veya polisinaptik nöronal sisteme aksonal ve sinaptik geçiş bozarak, klinikte uygulanan konsantrasyonlarda presinaptik nörotransmitter salınımını ve postsinaptik cevabı deprese edebilmekte veya artırmaktadır. Bu etkiler biyolojik ön hazırlamaya, nöronal geçiş frekansına, kısmen nörotransmittere ve anestezik uygulanmasına bağlı olarak meydana gelmektedir. Beynin bazı bölgelerinde norepinefrin konsantrasyonunu artırmaktadırlar. Santral norepinefrini azaltan ilaçlar doza ilişkili olarak halotan MAK'ını azaltırlarken, santral norepinefrin düzeylerini yükselten ilaçlar anestezik ihtiyacını artırmaktadırlar (36).

Inhalasyon anestezikleri beyinde asetilkolin konsantrasyonunu değiştirmez ancak kolinin geri alınımını azaltarak asetilkolin sentezini azaltmaktadır (37).

2.1.1. Inhalasyon anesteziklerinin hemodinamik etkileri

Volatil anestezikler miyokardiyal kontraktiliteyi, normal miyositlerde hücre içi kalsiyum dengesini bozarak deprese etmektedirler (38). Doza bağımlı olarak transsarkolemmal Ca^{2+} geçişini hem C hem de T-tipi Ca kanallarını etkileyerek inhibe etmektedirler. Halotan ve enfluran ayrıca sarkoplazmik retikulumdan Ca^{2+} salınımını stimüle etmektedirler. Bu kafein benzeri etki ile, kontraktiliteyi depresyondan önce geçici olarak hafif olarak artırmaktadırlar (39). Ek olarak, volatil anestezikler kontraktiliteyi $\text{Na}^+-\text{Ca}^{2+}$ kanallarını inhibe ederek ve intrasellüler Ca^{2+} konsantrasyonuna bağımlı olmayan voltaj bağımlı Ca^{2+} kanallarını azaltarak etki etmektedir. Negatif inotropik etkiye neonatal miyokardiyumu adultlardan daha fazla duyarlı olabilmektedir (40).

Volatil anestezikler miyokardiyal kontraktilitenin üzerinde olduğu gibi koroner vasküler düz kas hücrelerinde de, voltaj ve reseptör bağımlı Ca kanallarını inhibe ederek, Ca^{2+} birikimini ve sarkoplazmik retikulumdan Ca

salınımını azaltmakta, fosfolipaz C'ye bağlı G proteini inhibe etmekte ve ikincil mesajcı inositol trifosfat formasyonunu azaltmaktadırlar ve sonuç olarak koroner arter relaksasyonuna neden olmaktadır (40,41).

Kalp, sistol sırasında kanı yüksek basınçlı arteriyel sisteme göndermek ve diastol sırasında düşük basınçlı venöz dolaşımından kanı toplamak gibi iki fonksiyonunu da korumak zorundadır: Kalp yetersizliğinde sadece kontraktilit bozukluğu değil ayrıca diastolik fonksiyon bozukluğu da gelişmektedir (40). Volatil anesteziklerin diyastolik fonksiyon üzerine etkileri kapsamlı olarak çalışılmamış olmakla beraber doz ilişkili olarak izovolemik gevşemeyi uzattıkları (42-45) ve bununla ilişkili olarak sol ventrikül erken dolumunu azalttıkları bilinmektedir (42,46-48). Koroner kan akımı büyük oranda bu fazda olduğu için relaksasyondaki uzama nedeniyle halotan anestezisinde koroner kan akımının bozulduğu gösterilmiştir (45). Volatil anestezikler konsantrasyonla ilişkili olarak kalp hızını azaltmakta ve bu negatif inotropik etkiyle beraber sol ventrikül dolum süresini uzatmaktadır. Izofluran ve halotanın dilate kardiyomiyopati oluşturulmuş köpekler üzerinde normal sol ventrikül fonksiyonlarının üzerine yaptığı etkinin aksine, kardiyomiyopatili deneklerde izofluranın sol ventrikül relaksasyonu ve dolumunu beraberinde negatif inotropik etki gösterdiğinden düzelttiği saptanmıştır (40, 49).

Volatil anestezikler invitro çalışmalarında direkt olarak sinoatriyal düğüm aktivitesini deprese ettiği için negatif kronotropik etki göstermektedirler (50). Bununla beraber invivo olarak kalp hızındaki değişiklikler, volatil anestezikler ve refleks barorezeptör aktivitesi arasındaki ilişki ile belirlenmektedir. Halotan insanlarda kalp hızında, refleks barorezeptör aktivitesi üzerine etkisi nedeniyle fark edilebilir düzeyde değişiklik yapmamaktadır (40). Enfluranla ise kalp hızı, kardiyak out-put'un korunmasındaki yetersizlik nedeniyle değişen derecede artmaktadır (40). Izofluran aynı zamanda arteriyel basıncı düşürmesine cevap olarak kalp hızını artırmaktadır. Çünkü izofluranla barorezeptör refleksi eşit düzeydeki MAK değerlerinde enfluran ve halotanla karşılaşıldığında rölatif olarak korunduğu görülmüştür (51). Desfluran da dozla ilişkili olarak kalp hızını artırmaktadır (13,14,40). Desfluran ve izofluranın indüklediği taşikardi pediyatrik veya vagolitik ajan alan hastalarda

daha belirgin olmakta ve yenidoğanlarda ve geriyatrik hastalarda veya beraberinde opioid verilen hastalarda zayıflamaktadır (46). 1 MAK'ın üzerindeki konsantrasyonlarda inspire edilen desfluranın hızla yükselmesi, sempatik sinir sistemi aktivasyonu sonucu geçici olarak kalp hızı ve kan basıncındaki artışla ilişkili olabilmektedir (52,53). İlginç olarak inspire edilen izofluran konsantrasyonu hızla arttırıldığında da kalp hızı artmaktadır (52). Desfluran ve izofluran konsantrasyonunun hızla artmasıyla indüklenen kardiyovasküler stimülasyon trakeopulmoner ve sistemik reseptör (54) aktivasyonundan kaynaklanmaktadır ve bu etki β_1 adrenoreseptör ve α_2 adrenoreseptör antagonistleri ve opioidlerle premedikasyon ile azaltılabilirmektedir. Izofluran ve desfluranın aksine sevofluran, anestezik konsantrasyonunun hızla artması sırasında ne kalp hızı değişikliğine ne de kardiyovasküler stimülasyona neden olmaktadır (40,55).

Sevofluran ve desfluran dahil bütün yeni inhalasyon anestezikleri, invitro ve invivo olarak miyokarnda kontraktiliteyi deprese etmektedirler (38). Desfluran izofluranla oldukça benzer sistemik ve hemodinamik etkilere neden olmaktadır (56). Köpek ve insan çalışmaları ile ikisinin de izovolemik ve ejeksiyon fazı kontraktilite ölçümelerinde otonom sistem etkilerinden bağımsız olarak eşit derecede miyokardiyal depresyona yol açtığı gösterilmiştir (6,13,14,57). Bununla birlikte insanlarda inspire edilen desfluranın hızla artmasıyla birlikte bir kardiyovasküler stimülasyon oluşmaktadır ve bu da sempatik sinir sistemi yardımı ile geçici olarak miyokardiyal kontraktilite artışına neden olmaktadır (52-54).

Bütün yeni volatil anestezikler konsantrasyonla ilişkili olarak kan basıncını düşürmektedirler. Bu ajanların kan basıncını düşürme mekanizmaları arasında farklılıklar bulunmaktadır. Halotan ve enfluranla oluşan kan basıncındaki düşme primer olarak miyokardiyal kontraktilite ve kardiyak output'taki azalmaya bağlanılmaktadır (38). Tersine izofluran, desfluran ve sevofluranla oluşan kan basıncındaki düşme miyokardiyal kontraksiyonun rölatif olarak korunması nedeniyle sol ventrikül afterloadındaki azalma sonucunda oluşmaktadır (58). Bu ajanlarla miyokardiyal kontraktilitede daha az azalma olduğu için kardiyak out-put devam ettirilmekte

ve bunlar halotan ve enflurandan daha fazla sistemik vasküler dirençte düşmeye neden olmaktadır (40,55). Izofluran ve desfluranla ayrıca dolaşım üzerine olan otonomik sinir sistemi regülasyonu diğer volatil anesteziklerden daha fazla korunmuştur (51,53). Izofluran ve desfluran anestezisi sırasında baroreseptör refleksle oluşan taşikardi ile miyokardiyal kontraktilit ve stroke volüm azalmasına rağmen kardiyak outputun sürdürülmesi sağlanmaktadır. Volatil anesteziklerle oluşan kan basıncındaki azalma cerrahi stimülasyon ve beraberinde N₂O uygulanması ile hafifletilebilmektedir (14,40). Volatil anestezikler ayrıca hafif düzeyde doza bağımlı olarak sağ atriyal basıncı artırmaktadırlar. Bu etki muhtemelen direkt negatif inotropik etki nedeniyle oluşmaktadır. Izofluran, desfluran ve sevofluran, vazodilatator etkileri nedeniyle halotan ve enflurandan daha az sağ atriyum basıncında artmaya neden olmaktadır (40).

Volatil anestezikler sinoatriyal düğüm otomatisitesine direkt ve indirekt etkileri ile sinoatriyal düğüm uyarı hızını yavaşlatmaktadır (50). Halotan, enfluran ve bir yere kadar izofluran normal purkinje liflerinde kardiyak aksiyon potansiyelini ve efektif refraktör periyod süresini kısaltmaktadır. Bununla birlikte bu ajanlar His-purkinje ve ventriküler iletim zamanını, atrio-ventriküler iletme zamanını ve refrakter periyodu uzatmaktadır. Sonuç olarak bradikardi ve atrioventriküler (A-V) iletim anomalileri ortaya çıkabilmektedir. İleti bozukluğu veya iletimini belirgin uzatan ilaç kullanımı yoksa 2. ve 3. derece A-V blok genellikle oluşmayabilmektedir (40).

Volatil ajanlar miyokardiyal iskemi veya infarktin oluşturduğu anormal elektrofizyolojik mekanizmaya karşı pro veya antiaritmojenik etkiye sahip olabilmektedir. Halotan, enfluran ve izofluranın koroner arter oklüzyon ve reperfüzyonunun neden olduğu ventriküler fibrilasyona karşı kardiyoprotektif etkisi olduğu gösterilmektedir (59). Karşıt bir etki halotan ve daha az olarak izofluran deneySEL olarak miyokard infarktüsünde re-entry mekanizmasını kolaylaştırarak aritmogenik olabilmektedir (60). Halotan, enfluran ve izofluranın QT süresini uzattığı gösterilmektedir (61). Bu bilgi bu ilaçlarla anestezi sırasında idiopatik veya akkiz uzun QT sendromunda "Torsades de pointes" taşikardi gelişmesi açısından risk oluşturabileceğini göstermektedir (62).

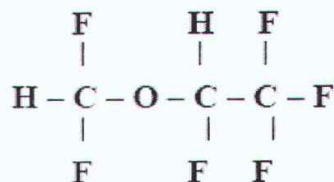
Halotan ve daha az oranda diğer volatil anestezikler epinefrinin aritmojenik etkisine miyokardiyum duyarlığını artırmaktadır. Volatil anestezikler ve katekolaminler arasındaki etkileşme, ventriküler ve atriyal aritmî oluþma eþiğini düşürmektedir. Halotan epinefrinin indüklediği aritmîler, tiyopentalle premedikasyon yapılarak azaltılabilmektedir (63).

Halotan anestezisi sırasında his-purkinje sisteminde epinefrinle α_{1A} -adrenoreseptör stimülasyonu geçici olarak purkinje liflerinde iletimi yavaşlatmaktadır (64). Bu proaritmojenik etkinin mediatörü fosfolipaz C ve hücre içi ikinci mesajcı inositol trifosfat olmaktadır (64). Halotan ve epinefrinin indüklediği aritmî konusunda son bulgular eş zamanlı olarak α_1 adrenoreseptör ile purkinje iletimi deprese olurken purkinje-ventriküler kas kavşağında ileti artışının rol oynadığını işaret etmektedir (65). Desfluran ve sevofluran da benzer fakat izofluran ve halotandan çok daha az düzeyde epinefrinle ventriküler aritmî oluþturmaktadır (66,67). Halotan-katekolamin sensitizasyonu anomal otomatisiteye ve latent pacemaker aktiviteye sonuçta da prematüre ventriküler kontraksiyon ve his demetinden kaynaklanan aritmîye neden olabilmektedir (68,69). Sinoatriyal düğüm fonksiyonunun sağlam olması bu aritmilere karşı koruyuculuğa neden olmaktadır (69).

Volatil anesteziklerin bu koroner vazodilatasyon ve koroner çalma etkilerine ek olarak deneysel çalışmalarında miyokardiyal iskemi ve reperfüzyon hasarında kardiyoprotektif etkileri olduğuna dair kanıtlar mevcuttur. Yapılan çalışmalarında halotanın ST segment değişikliklerini azalttığı hatta aynı hemodinamik değişikliklere rağmen propranololden ve sodyum nitroprüssiden daha fazla ST segment elevasyonunu azalttığı bulunmuştur. Izofluran ve halotanın koroner ligasyon sonrası miyokardiyal infarkt boyutunu azalttığı, enfluranın kritik koroner stenoz varlığında kardiyak laktat üretimini azalttığı gösterilmiştir (40,70-73). Izofluran ve desfluranın da akut rejyonal miyokardiyal iskemi sırasında sol ventrikül diyastolik mekanikler üzerine etkileri ile yararlı olduğu gösterilmiştir (7).

2.2. Desfluran

Desfluran metil etil eter yapısında olup, kimyasal olarak alfa etil kökünde flor atomu ($\text{CF}_2\text{H}-\text{O}-\text{CFH}-\text{CF}_3$) (1,2,2,2 tetraflouroethyl difluoromethyl ether) bulunmaktadır. Bu özellik molekülün kanda erirliğini azaltmaktadır (56).



Şekil I: Desfluranın formülü

Desfluran, diğer inhalasyon anestezik ajanlarına göre daha düşük kan/gaz ve doku/kan çözünürlük oranlarına sahip olması bu ajanın çok iyi dağılmasına ve çözülmesine yol açar. Bu yüzden desfluranın alveolar konsantrasyonu diğer volatil ajanlara göre inspire edilen konsantrasyona daha hızlı ulaşmaktadır (74). Partisyon katsayıları; kan:gaz için 0,42, yağ:gaz için 18,7'dir (75). Kan gaz partisyon katsayısının küçük olması; indüksiyonun ve derlenmenin hızlı olmasını, yalda erirliğinin düşük olması; etkinliğinin azlığı ve MAK değerinin yüksek olmasını açıklamaktadır. MAK yaş azaldıkça artmaktadır (76,77). Yapılan çalışmalarda diğer inhalasyon ajanlarına oranla desflurandan sonra derlenmenin daha hızlı olduğu gösterilmektedir (78).

Tablo I: Desfluranın Doku Çözünürlük Katsayıları

	DESFLURAN
Kan / Gaz	$0,42 \pm 0,02$
Beyin / Gaz	$1,3 \pm 0,1$
Kalp / Kan	$1,3 \pm 0,2$
Karaciğer/Kan	$1,3 \pm 0,2$
Böbrek / Kan	$1,0 \pm 0,1$
Kas / Kan	$2,0 \pm 0,6$
Yağ / Kan	27 ± 3

Tablo II: Desfluranın Farklı Yaş Gruplarında MAK Değerleri (76,77)

Yaş	%100 oksijen(O ₂)	% 60 N ₂ O-% 40 O ₂
2.5 aylık	% 9,41±0,36	-
8.5 aylık	% 9,96±0,67	% 7,15±0,82
2	% 9,05±0,61	-
3	-	% 6,35±0,41
7	% 8,05±0,55	-
18-30	% 7,25±0,00	% 4,00±0,29
31-65	% 6,00±0,29	% 2,83±0,58

Kaynama noktası (760 mmHg = 1 atm. basınçta 22.8°C), izofluran ve sevofluranın kaynama noktalarından oldukça düşüktür. Yanıcı ve patlayıcı değildir. Molekül ağırlığı 168.04 daltondur (56).

Desfluranın oda ısısındaki buhar basıncının yüksek olması (20°C de 669 mmHg) bütünüyle yeni bir vaporizör teknolojisi gerektirmiştir (79). Diğer konvansiyonel yüksek basınç vaporizatörlerinden farklı olarak elektronik denetim sistemine sahiptir. Sıvı desfluranın 39°C'ye kadar ısıtılabilme özelliğinden dolayı 1460 mmHg'lık sabit bir buhar basıncı elde edilebilmektedir. Elektronik olarak yönetilen regülatör, desfluranı vaporizatör üzerinde ayarlanmış olan konsantrasyonu tam olarak sağlayacak miktarda buharlaştırarak taşıyıcı gaz ile karıştırmaktadır. Bu cihaza bazı güvenlik özellikleri eklenmiştir. Buharlaşma ile regülatör odacığı arasındaki bağlantıyı sağlayan bir kapanıcı valf, yalnızca cihazın anestezi makinesındaki yerine doğru yerleştirilmesi, elektrik gelmesi ve çalışmaya hazır olması durumunda çalışmaktadır. Desfluran vaporizatörünün çalışması için uygun akım aralıkları 0,2-10 litre(lt)/dakika(dk) arasında tutulmaktadır. Taşıyıcı gaz olarak saf O₂ kullanılması durumunda vaporizörden çıkan desfluran konsantrasyonu ayarlanan konsantrasyona göre mutlak olarak %0.5 volüm(vol) yada göreceli olarak %15 sınırları içinde farklılık gösterebilir. 2 lt/dk daha düşük akımlarda oluşan desfluran konsantrasyonu, daha yüksek akımlarda oluşan konsantrasyondan yaklaşık %8 daha azdır; ancak, bu oran hala 0,2-10 lt/dk sınırları içinde kalır. O₂ içinde %70 N₂O kullanıldığı zaman bu gaz karışımının

vizkositeli daha düşük olduğu için ayarlanan değere göre %20 daha az konsantrasyon oluşabilir. TEC 6 vaporizatörünün çalışma duyarlılığı, düşük ve minimal akımlı anestezinin güvenle uygulanabilmesine yönelik gereksinimleri karşılayıcı düzeyde ayarlanmıştır (80).

Desfluran yüksek ısida bile sodalaym ile etkileşmemektedir. Karbondioksit (CO_2) absorbanları geri solutmalı anestezi sistemlerinde inhalasyon ajanının tüketimini azaltmak amacıyla 1925'den beri kullanılmaktadır. İnhalasyon ajanlarının bazıları CO_2 absorbanları ile etkileşerek karbonmonoksit (CO) oluşturmaktadır. CO artışından sorumlu tutulan ajanlar sırası ile en çok desfluran>izofluran>enfluran olarak bildirilmektedir. CO oluşumundan yapılarındaki diflorometiletil (-CF₂) grubu suçlanmaktadır (52). Baryum hidroksit tercih edilmesi (81), yüksek taze gaz akımlı anestezi uygulaması, kanister ısısının yüksek olması, kuru absorban kullanılması, düşük hemoglobin seviyesi CO üretiminden sorumlu tutulmaktadır (82,83).

Desfluran, %0,02 gibi oldukça düşük bir düzeyde metabolize olmaktadır. Anestezi sonrası serum ve idrarda inorganik florür düzeyleri anestezi öncesine göre belirgin bir değişiklik göstermemektedir (84).

Desfluran bütün inhalasyon anestezikleri gibi doza bağlı olarak kan basıncını azaltmaktadır. Desfluran sistemik vasküler direnci azaltarak hipotansiyona neden olmaktadır. Kardiyak out-put böylece daha iyi korunmaka ve splanik, renal, serebral ve koroner gibi major organlara kan akımı olmaktadır (56). Desfluran konsantrasyonunun artmasına bağlı olarak kalp atım sayısında artış olmaktadır. Bu geçici artış sempatik sinir stimülasyonu sonucu olmaktadır (85). Desfluran anestezisi altında konsantrasyondaki hızlı yükselmelerin, kalp atım sayısı, kan basıncı ve katekolamin düzeylerinde izoflurandan daha belirgin, geçici bazende endişe verici düzeyde artışa neden olabileceği gösterilmiştir (86).

Desfluran doza bağımlı olarak tidal volümü azaltarak, frekansını artırmakta ve alveolar ventilasyonda azalmaya neden olmaktadır. MV'nu 1 MAK'tan daha az konsantrasyonda korunmakta iken 1 MAK'tan daha fazla konsantrasyonda azalmakta ve sonuç olarak PaCO_2 artırmakta ve ventilatuar

cevap deprese olmaktadır. Desfluranın indüksiyon sırasında rahatsız edici kokusu nedeniyle öksürük, sekresyon, nefes tutma, larinks spazmı insidansı yüksek olmaktadır. Bu nedenle maske ile indüksiyon uygulamalarında önerilmemekle birlikte erişkin indüksiyonunda desfluranın %6 konsantrasyonunun irritan olmadığı daha yüksek konsantrasyonda irritan olabileceği çalışmalarda gösterilmektedir (87,88).

Serebral damarları genişletecek beyin kan akımını ve kafa içi basıncını artırmakta, serebral O₂ tüketimini ve serebral vasküler direnci azaltmaktadır. Ancak desfluran anestezisi altında hipokapniye vazokonstriktif cevap korunmakta ve bu nedenle intrakraniyal basınçta olan artış hiperventilasyonla azaltılabilir (89). Desfluranın izoflurana benzer şekilde 1.24 MAK ve üzerinde elektroensefalogram (EEG) supresyonuna neden olduğu görülmüştür (90).

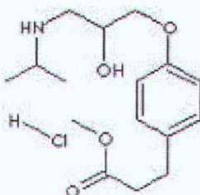
Desfluran periferik sinir uyarıcılarına olan cevabı doza bağımlı olarak azaltmaktadır. Direk olarak iskelet kas gevşemesi yaparak nondepolarizan ve depolarizan nöromuskuler blokaj yapan ajanların etkisini potansiyelize etmektedir (91).

Desfluranın böbrek ve karaciğere toksik etkilerine dair bir veriye rastlanılmamıştır (92).

Desfluran, düşük çözünürlülüğü ve geniş bir doz aralığında ayarlanabilen vaporizatörü nedeniyle düşük akımlı anestezi tekniklerinde kullanım için özellikle uygun görülmektedir.

2.3. Esmolol

Esmolol hidroklorür (metil 3-4-[2-hidroksi-3-(izopropilaminopropoksi-fenil] propiyonat hidroklorid) etkisi hızlı başlayan ve çok kısa süreli olan, vasküler komponentte hepatik ve renal fonksiyonlardan bağımsız olarak inaktive edilen β_1 selektif (kardiyoselektif) adrenerjik reseptör blokeridir (93). Formülü $C_{16}H_{25}NO_4$ olup molekül ağırlığı 295.374 g/mol'dur.



Şekil II: Esmololun kimyasal yapısı

Teropatik dozlarda anlamlı intrensek sempatomimetik veya membran stabilize edici aktivitesi yoktur. Suda çözünürlüğü çok fazla olan ve alkolde serbestçe çözünen, görece hidrofilik bir bileşik olan esmolol hidroklorürün pH 7.0'daki partisyon katsayısı (oktanol/su) 0.42'dir (propranolol: 17.0) (93,94).

Esmolol'un total vücut klibrensi 285 mililitre (ml)/dk, dağılım yarı ömrü yaklaşık 2 dk ve eliminasyon yarı ömrü yaklaşık 9.2 dk.'dır. Uygun bir yükleme dozu 0,05-0,3 miligram(mg)/ kilogram(kg)/dk uygulandığında, esmolol hidroklorür kararlı-durum kan düzeylerine 3 dk içinde ulaşmaktadır (kararlı doza yükleme dozu olmadan yaklaşık 30 dk. içinde ulaşılır). İnfüzyona devam edildiği sürece β blokaj etkileri görülmekte ve infüzyonun sonlandırılmasının ardından 15-30 dk. içinde β blokaj etkileri ortadan kalkmaktadır. Esmolol hidroklorür infüzyonunun sona ermesinden 30 dk. sonra hemodinamik parametrelerin tümü normale dönmektedir. Bu özelliği kan basıncı ve kalp hızının acil kontrol edilmesinde uygun bir ajan olmasını sağlamaktadır (94).

Esmolol hidroklorür β -blokörlerle özgü tipik etkiler oluşturmaktadır. Kalp hızını azaltma, sinüs siklusu süresinde artma, sinüs düğümünün derlenme süresinde, normal sinüs ritmi ve atriyal "pacing" sırasında atriyumlarla his

demeti arasındaki ileti hızında uzama ve antegrad wenkebach siklus süresinde artma sağlamaktadır. Esmolol klinik tedavide supraventriküler taşiaritmilerde, akut miyokard iskemisinde kalp hızının hızlı kontrolü ve miyokardial O₂ tüketiminin azaltılmasında, perioperatif hipertansiyon ve supraventriküler taşikardi ile postoperatif hipertansiyonda kullanılmaktadır (94).

Esmolol hidroklorür, ester bağlarının eritrositlerin sitozolündeki esterazlar tarafından (plazma kolinesterazları veya eritrosit membranındaki asetilkolinesterazlar tarafından değil) hidrolizi ile hızla metabolize olmaktadır. Esmolol hidroklorürün metabolizasyonu sonucu serbest asit ve metanol oluşmaktadır. Asit metabolitin eliminasyon yarı ömrü yaklaşık 3.7 saat(sa) ve idrarda glomuler filtrasyon hızına yakın sayılıacak bir klerens ile atılmaktadır. Esmolol hidroklorürün metabolizmasının bu özelliğiyle uyumlu olarak ilaçın %2'sinden azı idrarla değişmeden atılmaktadır. Esmolol hidroklorürün asit metaboliti böbrekler yoluyla değişmeden atıldığından, renal fonksiyon bozukluğu olan hastalarda dikkatli kullanılmaktadır. Son dönem böbrek hastalığı olan kişilerde asit metabolitin eliminasyon yarı-ömrü on kat uzar ve plazma düzeyi büyük ölçüde artmaktadır (93).

Propranolol'den farklı olarak esmolol'un minimal sedatif etkisi olduğu, bu nedenle anestezik tüketimini azalttığı ve analjezik özelliklerinin de olduğu, ayrıca kan beyin bariyerini de geçmediği yapılan çalışmalarda gösterilmektedir (95).

Kan beyin bariyerini geçmemesi nedeniyle lipofilik blokerler gibi santral sinir sisteminde yan etkilere neden olmamaktadır (96).

Esmolol hidroklorürün süksinilkolin ile indüklenen nöromusküler blokajın süresi üzerine etkisi cerrahi yapılan hastalarda incelenmiş ve süksinilkolin ile indüklenen nöromusküler blokajın başlamasının esmolol hidroklorürden etkilenmediği, ancak nöromusküler blokajın süresinin 5 dk.'dan 8 dk.'ya çıktığı bulunmuştur (97).

Literatürde esmolol kullanımının propofol gereksinimini de azaltlığına dair çalışmalar bulunmaktadır. Wilson ve ark. 1 mg/kg bolus ve ardından 250

$\mu\text{g}/\text{kg}/\text{dk}$. infüzyonla verilen esmololun, propofolun indüksiyon dozundaki gereksinimi %25-45 oranında azalttığını göstermektedirler (95).

Esmolol hidroklorür kullanımıyla ilişkili olarak kontrollü klinik çalışmalarda gözlenen yan etkilerin çoğu hafif ve geçicidir. En önemli yan etki hipotansiyon olarak bildirilmiştir (%50 insidans). Hipotansiyona sıkılıkla diyaforezin eşlik ettiği görülmüştür. Semptomların genellikle esmololun kesiminden yaklaşık 30 dk sonra gerilemeye olduğu belirtilmiştir. Solukluk, sıcak basması, bradikardi (kalp hızı: 50/dk.'dan az), göğüs ağrısı, senkop, pulmoner ödem ve kalp bloğu gibi kardiyovasküler, baş dönmesi, uyuqlama, konfüzyon, baş ağrısı, ajitasyon, halsizlik gibi santral sinir sistemi yan etkileri ortaya çıkmaktadır. Solunum sisteminde bronkokonstriksyon, hırıltılı solunum, dispne, nazal konjesyon, ronkus ve ral, gastrointestinal sisteme bulantı-kusma dispepsi, konstipasyon, ağızda kuruluk ve abdominal rahatsızlıklar, deride ödem, eritem, deri renginin değişmesi, infüzyon bölgesinde yanma hissi, tromboflebit ve ekstravazasyondan kaynaklanan lokal deri nekrozu gibi yan etkilerde görülmektedir.

2.3.1. Esmolol kullanım şekli ve dozu

Esmolol bolus yada infüzyon şeklinde uygulanabilir. Bolus dozu: 0,5-3 mg/kg İnfüzyon dozu: 300-500 $\mu\text{g}/\text{kg}/\text{dk}$., yükleme dozu sonrası 50-200 $\mu\text{g}/\text{kg}/\text{dk}'$ dır

2.4. Düşük Akımlı Anestezi

Düşük akımlı anestezi, tekrar solumalı bir sistem kullanılarak ekspire edilen gazların CO_2 'i absorbe edildikten sonra en az %50'sinin tekrar solunması olarak tanımlanmaktadır. Düşük akımlı anestezi yönteminde yeniden solutma oranını belirleyen en önemli komponent taze gaz akım hızı olarak belirlenmekte ve taze gaz akımının dakika volümünden belirgin olarak düşük olduğu koşullar için tanımlanmaktadır (23). Anestezi sistemlerinde 1

lt/dk.'lık düşük akımlı anestezi uygulaması, modern kapalı ve yarı kapalı tekrar solumalı anestezi cihazları ile mümkün olmaktadır.

Taze gaz akım hızının düşürülmesi geri solumayı artırarak kullanılan inhalasyon ajanının miktarını büyük oranda azaltabilmektedir. Aynı zamanda ortam kirlenmesinin azaltılması, solunan gazların ısı ve nemi için daha uygun şartlar sağlamaası, anestezi altında vücut ısısının korunması gibi etkileri bulunmaktadır (98). Taze gaz akım hızının 1 lt/dk.'a düşürüldüğü düşük akımlı anestezi tekniği ilk kez 1952'de Foldes ve ark. (99) tarafından, 10.000'den fazla hastada başarıyla uygulandıktan sonra yayınlanmıştır. Taze gaz bileşimi standart olarak 0.5 lt/dk. O₂ ve 0.5 lt/dk. N₂O şeklinde ayarlandığında, inspire edilen oksijen konsantrasyonu ortalama %30 ±5'e ulaşmış ve bu oran hiçbir olguda %20'nin altına düşmemiştir. 1985'de Foldes ve Duncalf (100) biraz daha farklı bir yaklaşım önermiştir. Buna göre yeterli denitrojenizasyonun sağlanması için akımı azaltmadan önce başlangıçta 10 dk. süre ile yüksek taze gaz akımını uyguladıktan sonra 1 lt/dk. standart taze gaz akımına düşürülmesi gerektiğini ortaya koymuşlardır. Düşük akımlı teknik, 1982'de Grote ve ark. tarafından biraz daha değiştirilmiştir. Yaklaşık 5 dk.'lık bir yüksek akımlı (2 lt/dk. O₂, 4 lt/dk. N₂O) başlangıç döneminden sonra taze gaz akımının 1 lt/dk'ya (0.5 lt/dk. O₂, 0.5 lt/dk. N₂O) düşürülmesi önerilmiştir. Aynı çalışmada, bu standart ayarlamalar ile inspiratuar O₂ konsantrasyonu (FiO₂) hiçbir zaman %30'un altına inmediği için sürekli O₂ izlemi gereksiz olmaktadır. Ancak, 1-2 sa. sonra taze gaz bileşiminin 0.6 lt/dk. O₂ ve 0.4 lt/dk. N₂O şeklinde değiştirilmesi önerisinde bulunmuşlardır (101).

Tablo III. Düşük Akımlı Anestezi Teknikleri (Taşıyıcı Gaz: O₂/N₂O) (101).

Düşük Akımlı Anestezi	
Taze gaz akımı	Sabit, 1 lt/dk
Taze gaz bileşimi	%50 O ₂ , %50 N ₂ O
Yeniden-solutma	Kısmen
Gaz fazlası	Var
Anestezik gaz bileşimi	Anestezi süresince değişir
Teknik sınıflandırma	Yarı-kapalı sistemle uygulanan anestezi tekniği
Minimal Akımlı Anestezi	
Taze gaz akımı	Sabit, 0,5 lt/dk
Taze gaz bileşimi	%60 O ₂ , %40 N ₂ O
Yeniden-solutma	Yüksek oranda
Gaz fazlası	Minimal
Anestezik gaz bileşimi	Anestezi süresince değişir
Teknik sınıflandırma	Yarı-kapalı sistemle uygulanan anestezi tekniği
Kapalı sistemle kantitatif olmayan anestezi	
Taze gaz akımı	Alınım ve kaçaklardan kayıp miktarına göre aralıklı değiştirilir
Taze gaz bileşimi	Solutma devresindeki O ₂ konsantrasyonuna göre değiştirilir.
Yeniden-solutma	CO ₂ absorbşyonundan sonra ekshale edilen gazın tamamı
Gaz fazlası	Yok
Anestezik gaz bileşimi	Anestezi süresince değişir
Teknik sınıflandırma	Kapalı sistemle uygulanan anestezi tekniği
Kapalı sistemle kantitatif anestezi	
Taze gaz akımı	O ₂ , N ₂ O ve anestezik ajan alınımına göre sürekli değiştirilir
Taze gaz bileşimi	Anestezik gaz bilesenlerinin alınımına göre sürekli değiştirilir
Yeniden-solutma	CO ₂ absorbşyonundan sonra ekshale edilen gazın tamamı
Gaz fazlası	Yok
Anestezik gaz bileşimi	Önceden ayarlanan değerlere göre anestezi süresince sabit
Teknik sınıflandırma	Kapalı sistemle uygulanan anestezi tekniği

Taze gaz akımı, istege göre dakika hacminin altındaki herhangi bir değere ayarlanabilmektedir. Ancak, taze gaz akımı hiçbir zaman hastanın alınımı ve solutma sistemindeki kaçaklar yoluyla olan kayiplardan daha az olmamalıdır. Taze gaz akımı azaltıldıkça, sistemden atılan gaz miktarı da o kadar azalmakta ve yeniden-solutma oranı yükselmektedir. Yeniden-solutmalı bir sistem hastanın dk.'a hacmine eşit miktarda taze gaz akımı ile kullanılrsa, yeniden solutulan gaz oranı ihmali edilebilecek kadar az olmaktadır. Gerçekte

hastanın ekspire ettiği gazın tümü gaz fazlaşır atılım valfinden dışarı atılır ve hasta neredeyse saf taze gaz solumaktadır. Taze gaz akımı 4 lt/dk. olarak kullanıldığındaysa yeniden-solutma oranı yaklaşık %20'ye çıkmaktadır. Akım 2 lt/dk. ya da altına düşürüldüğünde ise yeniden solutma oranı %50'ye ya da daha üzerine çıkmaktadır (101).

Düşük akımlı anestezi teknikleri, bu yöntemlerin güvenle uygulanabileceği uygun monitorizasyonun varlığı, doğru çalışması, alarm sınırlarının dikkatle ayarlanması ve hasta solutma sistemine bağlanır bağlanmaz alarmların çalışılabilir hale gelmesi koşulu ile uygulanmalıdır. Inspire edilen oksijen konsantrasyonunun alt alarm sınırı %28-30'a, bağlantı ayılma alarmı tepe basıncından 5 cmH₂O daha aşağıya, tikanıklık alarmı 30 cmH₂O'ya ve ekspire edilen gaz hacmi alt alarm sınırı da istenen dakika hacminin 500 ml. altına ayarlanmalıdır (102).

Düşük akımlı anestezi uygulamasında, indüksiyon için normal rutin sıra takip edilmektedir; preoksijenizasyondan sonra i.v hipnotik ajan ve kas gevşetici kullanılarak endotrakeal entübasyon yapılmaktadır. Hasta daha sonra yeniden solutmalı sisteme bağlanmaktadır. Hastanın fizik yapısına ve kullanılan anestezik ajana göre ortalama 15-20 dk., en az 10 dk. yüksek akım uygulanmaktadır. Taze gaz akımı 4,4 lt/dk.=1,4 lt/dk. O₂+3 lt/dk. N₂O+inhalasyon ajanı şeklinde verilmektedir (102). İnhalasyon ajanları için vaporizatör ayarları şu şekildedir (102);

Halotan	% 1-1.3
Enfluran	% 2-2.5
Izofluran	% 1-1.5
Sevofluran	% 2-2.5
Desfluran	% 4-6

Kanda çözünürlükleri yüksek olan bir volatil ajan kullanıldığındaysa yüksek akım dönemi 15-20 dk. tutulmalıdır (102). Oysa sevofluran ve desfluranın çözünürlükleri ve hasta tarafından alınımları düşük olduğundan bu ajanlarla indüksiyon süresi ve indüksiyondan sonra SSS'de istenen anestezik ajan konsantrasyonuna ulaşılma süresi daha kısa olmaktadır. Bu nedenle düşük ve minimal akımlı anestezide sevofluran ve desfluran kullanıldığındaysa

başlangıçtaki yüksek akım dönemi göreceli olarak kısa tutulabilmektedir. Ve yaklaşık 10 dk. yeterli olmaktadır. Taze gaz akımı erken azaltılırsa başlangıçta yüksek olan anestezik buhar gereksinimi karşılanamamakta ve yeterli anestezi derinliğine ulaşılamamaktadır (102).

Preoksijenizasyon ve başlangıçtaki 10-15 dk. yüksek akım sayesinde hem denitrojenizasyon yapılmış olmakta hemde yeterli miktarda N₂O ve volatil anestezik sisteme verilerek başlangıçta yüksek olan alınım karşılınarak hedeflenen doku konsantrasyonlarına ulaşılmış olmaktadır. Normal ağırlıktaki bir hastada vücutta ve akciğerde depolanmış olarak 2,7 lt. nitrojen olduğu varsayılmaktadır. Hasta yüksek akım ile 15-20 dk. solutulursa bu sürenin sonunda 2 lt. nitrojen vücuttan atılmış olmaktadır. Kalan 0,7 lt. nitrojen, daha az kanlanan dokulardan salınan miktar olmaktadır. Bu şekildeki bir denitrojenizasyondan sonra solunum sistemi içindeki nitrojen konsantrasyonu %3-10 düzeyine yükselmektedir (103). Uzun süreli minimal akımlı anestezi uygulaması sırasında sistemdeki nitrojen %15'e kadar yükselbilmektedir. Solunum sistemi içerisinde yüksek nitrojen konsantrasyonlarına ulaşıldığından sistem 2-5 dk. yüksek taze gaz akımı ile yılanarak nitrojen atılımı sağlanabilmektedir. İzlem yöntemleriyle hipoksi olasılığı ekarte edilebildiği müddetçe nitrojen birikimi hasta için herhangi bir risk oluşturmamaktadır. Ancak sistemde nitrojen birikimine bağlı N₂O miktarı önemli ölçüde düşebilmektedir. Bu da N₂O'in anestezik etkisini azaltmaktadır. Bunun üstesinden gelebilmek için ya uygun bir gaz akımı ile aralıklı yıkama yapılmalı, yada i.v. yada volatil ajanla anestezi desteklenmelidir (103).

15-20 dk. yüksek akım uygulandıktan sonra gaz hacmi standart olarak 0.5 lt/dk.'ya düşürülmelidir. Eş zamanlı olarak gaz bileşimi %60 yani 0.3 lt/dk. O₂ ve %40 yani 0.2 lt/dk. N₂O olarak ayarlanmalıdır. Akımın düşürülmesiyle birlikte volatil anestezik konsantrasyonu % 0,5-1 konsantrasyon artırılmalıdır. Bu aşamada farklı gazlara göre vaporizatör ayarları şu şekildedir (102):

Halotan	% 2.5-3
Enfluran	% 3-3.5
İzofluran	% 2-2.5
Sevofluran	% 3-3.5
Desfluran	% 1-1.5

Yukarıda açıklandığı gibi düşük akımlı anestezide O_2 alınımı belli değerler dahilinde sabitken, N_2O alınımı gitgide azalmaktadır. N_2O alınımı azaldıkça sistemde birikmekte ve total gaz hacminde daha fazla yer işgal etmektedir. Sabit volüm içinde azotun başlangıçta ayarlanan değere göre sistemde zamana bağımlı olarak daha fazla yer tutması demek, O_2 'nin sistemde kapladığı yerin gitgide azalması demektir. Bu bağlamda minimal akımlı anestezinin olumsuz tarafı taze gaz bileşimini standart ve sabit bir şekilde ayarlanması sebebiyle FiO_2 'nın düşmesi olmaktadır. Metabolik hızın yüksek olduğu hastalarda O_2 ihtiyacı artmış olacağinden bu hastalarda FiO_2 'yi daha yüksek tutmak gerekmektedir. FiO_2 alt sınıra indikçe taze gaz akımı içindeki O_2 konsantrasyonu 50 ml/dk. artırılmalı ve N_2O akımı 50 ml/dk. azaltılmalıdır (104).

Anestezinin sonlandırılma aşamasında hasta uyanana kadar anestezi derinliğinin hızla azaltılması amaçlanmaktadır. Öncelikle solutma sistemi içindeki anestezik konsantrasyonunun hızla düşürülmesi gerekmektedir. Cerrahi işlem sonlandırılmadan 10-20 dk. önce vaporizatör kapatılmalıdır. Taze gaz akımı 0.5 lt/dk. olarak sürdürülmelidir. Manuel solutma yada senkronize aralıklı zorunlu ventilasyon (SIMV) ile hastanın spontan solunuma geçmesi sağlanmalıdır. Ekstübasyondan 5-10 dk. önce sistem 4-5 lt/dk. saf O_2 ile yılanarak sistemdeki anestezik gazlar uzaklaştırılmalıdır. Akım yüksek tutularak yeniden solunan volatil ajan konsantrasyonu azaltılmakta ve FiO_2 yükselmektedir. Alveol-kapiller parsiyel basınç farkının yüksek olması anestezik ajanın hızla atılmasını ve ekspire edilen volatil anestezik konsantrasyonunun da hızla azalmasını sağlamaktadır. Ekstübasyondan sonra postoperatif bakım uygulanılmalıdır (105).

2.4.1.Düşük akımlı anestezinin avantajları

Anestezik Gazların Tüketiminde Azalma: 2 sa.'lik bir anestezi süresinde inhalasyon ajanı olarak desfluran kullanılırsa, anestezik ajan tüketimindeki azalma çok belirgin olmaktadır; inspiratuvar desfluran konsantrasyonu %6 olarak varsayıldığında, yüksek akım (4.4 lt/dk.) ile 161 lt. olan desfluran buharı tüketimi minimal akımlı anestezide yaklaşık 33 lt. düşmektedir. Rutin klinik uygulamada düşük akımlı tekniklerin yerleşmesine yönelik uygun eğitimsel çabalarla inhalasyon ajanlarının tüketimini % 65 oranında azaltmak olası olmaktadır (98, 106).

Maliyette Azalma: Yeni volatil anestezik ajanların çözünürlüğü ve anestezik gücü düşük olarak bulunmuştur. Bu durumda yeterli anestezi derinliğini sağlamak için solutma sistemi ve alveol alanı içinde göreceli olarak yüksek parsiyel basınç oluşturulması ve sürdürülmesi gerekli olmakla birlikte, farmakokinetik ve farmakodinamik özellikleri nedeniyle alınımılarında düşük olmaktadır. Bu ajanlarla yüksek akımlı anestezii uygulanırsa, ekshale edilen hava ile birlikte atmosfere önemli miktarda anestezik verilmektedir. Bu durumda, inhale edilen anestezinin yalnızca küçük bir miktarı gerçekten hasta tarafından alınmakta; kalan çok daha büyük miktar ise ekspirasyondan sonra atılmaktadır. Anestezik ajanın gücü ne kadar düşükse, boş harcanan miktarda o kadar yüksek olmaktadır. Oysa düşük akımlı sistem kullanılırsa, boş yere atılan anestezik miktarı ciddi biçimde azaldığı için bu anestezik ajanlarının tüketiminden önemli ölçüde tasarruf sağlanmaktadır. Solutma sistemi içine verilmesi gereken anestezii desteği, hastanın az miktardaki alınımı ve atmosfere atılan küçük bir miktarın toplamına eşdeğer düzeyde düşük olmaktadır. Bir inhalasyon anestezinin daha düşük çözünürlüğe ve daha düşük anestezik güce sahip olması, akımın azaltılması ile sağlanabilecek etkililik artışının da daha yüksek olmasına neden olmaktadır. Akımdaki azalmanın boyutuna ve seçilen anestezik ajana bağımlı olarak 1 sa.'lik bir anestezii uygulamasında gaz tüketiminin %50 ile %75 arasında azalduğu ve bu bağlamda parasal tasarruf sağlandığı söylenebilmektedir (98).

Atmosfer Kirliliğinde Azalma: Solunum devrelerinde kaçak olmamasına çok dikkat edilmesi ve atık sistemlerinin kullanılmasına rağmen yüksek akımlı anestezi ile çalışanlar volatil anesteziklere maruz kalmaktadırlar. Atık gaz sisteminin olmadığı durumlarda, düşük akımlı anestezinin kullanılması anestezik gazlara maruz kalmanın azaltılmasının en kolay yolu olmaktadır. Düşük akımlı anestezinin kullanımı, atık gaz sistemlerinden atmosfere atılan inhalasyon ajan konsantrasyonunun azalmasına da neden olmaktadır. Troposfer içindeki N₂O konsantrasyonu her yıl %0,25 artmaktadır. Bu gaz, sera etkisi olarak da bilinen özelliği ile atmosferin ısınma sürecine katkıda bulunmaktadır. N₂O molekülleri stabildir, 150 yıl varlıklarını sürdürmektedir. Stratosfere çıkabilmekte ve N₂O oluşturarak ozon tabakasının tahribine katkıda bulunmaktadır. Ozon tabakası hasarından sorumlu tutulan volatil anestezikler, kloroflorokarbon (CFC) grubundaki halotan, enfluran ve izofluran'dır. Endüstriyel amaçlı yıllık CFC üretiminde volatil anesteziklerin payı %0,1'den fazla olmamaktadır. Montreal Konferansı'nın sonuçlarına göre halotan, enfluran ve izofluranı da içeren kısmi halojenli CFC'ların üretimi aşamalı olarak azaltılmalı ve 2030 yılında da bütünüyle durdurulmalıdır. Klor yerine flor içeren inhalasyon anestezikleri sevofluran ve desfluran CFC değildir ve ihmali edilebilir düzeydeki sera etkileri ile ozon tabakasına zarar vermedikleri düşünülmektedir. Montreal Konferansı'ndaki kararlarda bu iki ajandan bahsedilmemektedir. Günümüzde, modern ve ileri teknolojiye sahip yeniden solutmalı sistemlerin akılcı kullanımı ile anestezik gazların çevre kirliliğindeki payı büyük ölçüde azaltılabilmektedir(107,108).

Anestezik Gaz İkliminde İyileşme: Nemlenmiş ve ısınmış olan ekshale edilen gazın yeniden-solutulma oranının artırılması ve aynı zamanda soğuk ve kuru taze gaz oranının düşürülmesi ile anestezik gaz iklimi klinik bakımdan önemli düzeyde iyileştirilebilmektedir. Anestezik gazların uygun şekilde nemlendirilmesi ve ısıtmasının, silyalı epitelin işlevi ve mukosiliyer temizlik üzerindeki önemi büyük olmaktadır. Anestezik solutma sırasında inspire edilen gazın mutlak nemliliğinin 17 ve 35 mgH₂O/l, ısısının da 28 ve 32°C arasında olması tercih edilmektedir. Solutulan gazların iklimi; solutma

sisteminin teknik tasarımları, absorbanın büyülüğu, hasta hortumlarının boyu ve ısı iletkenliği, ortam ısısı ve yeniden-solutma oranı ile belirlenmektedir. Düşük akımlı anestezi esnasında ölçülen ısı değerleri yüksek taze gaz akımı ile ölçülenlere göre daha yüksek olmaktadır (98). Düşük taze gaz akımı kullanılan yeniden solutmalı bir sistemle anestezi uygulandığında, nemlilik oranı yüksek taze akımlarına göre önemli düzeyde daha yüksek olmaktadır. Inspire edilen gazların nemliliği temel olarak akımdan etkilenirken; ısısı, iletkenliğe bağlı (convective) ısı kaybindan, hortum sisteminin fizikal özelliklerinden etkilenmektedir. Anestezi altındaki çıplak bir hastada solunum yolu ile ısı kaybı 15 kcal/kg olmaktadır. Toplam enerji kaybının %10'unu teşkil etmektedir (98).

2.4.2. Düşük akımlı anestezide hasta güvenliği boyutu

Teknik araç ve gereç yetersizliğine bağlı riskler

- a-Uygun flovmetrelerin kullanılmamasına, oksijen konsantrasyonunun takip edilememesine bağlı olarak hipoksi gelişebilmektedir.
- b-Kaçaklar nedeniyle yeterli ventilasyon yapılamayabilmekte ve hipoksi gelişebilmektedir.
- c-Solutma sistemi içerisinde CO₂ birikebilmektedir.
- d-Kazaya hava yolu basıncı artabilmektedir.
- e-Kazaya volatil anestezik aşırı dozu söz konusu olabilmektedir. Düşük akımlı anestezi uzun zaman sabitesi nedeniyle sistem içindeki anestezik ajan konsantrasyonun hızla değişmesi ve tehlikeli boyuta ulaşması bakımından yüksek akımlı anesteziye göre daha güvenli olmaktadır. Ancak düşük akımdan yüksek akıma geri dönüldüğünde vaporizör ayarı yüksek akıma göre yapılmalıdır. Aksi takdirde yüksek akımda zaman sabitesi daha kısa olduğundan volatil anestezik aşırı dozu oluşabilmektedir. Bu nedenle solutma sistemi içindeki anestezik konsantrasyonu sürekli izlenemiyorsa 1 lt/dk.'dan daha düşük akımlarla anestezi uygulanmamalıdır (103).

Doğrudan düşük akıma bağlı riskler

- 1)-Uzun zaman sabitesi nedeniyle anestezik gaz konsantrasyonunda hızla değişiklik yapılamamaktadır. Fakat aslında bu bir risk olmamaktadır. Çünkü istediği zaman düşük akımdan yüksek akıma geçilerek anestezik gaz konsantrasyonu hızla değiştirilebilmektedir (103).
- 2)-Yabancı gaz birikimi: Yeterli denitrojenizasyon yapılmazsa nitrojen, aseton, etanol, CO, argon, metan, H, haloalkanlar birikebilmektedir (109).

a-Aseton serbest yağ asitlerinin oksidatif metabolizması ile oluşmaktadır. Açlık, dekompanse diabetes mellitus (DM), anti-insülin hormonlarının salınımının artlığı durumlarda aseton oluşumunda artış görülebilmektedir. Aseton birikmesi derlenme süresini uzatmakta ve postoperatif kusma insidansını artırmaktadır. Asetonun yapımı intraoperatif stresle ilişkili olduğu için dengeli anestezide stres cevabı azaltmak için ek opioid dozları yapılması önerilmektedir.

b-Etanol akut olarak aşırı alkol alanlarda sistemde birikmektedir.

c-CO: Kapalı sistem anestezisi sonrasında sigara içen hastalarda karboksi-hemoglobin (Hb) miktarı fizyolojik değerinin 8-15 katına çıkmaktadır. Bölgesel kan akımı yetersizliği olan sürekli sigara içicisi, ileri derecede anemisi olan ve porfirisi olan hastalarda kapalı sistemle anestezi uygulaması sakıncalı olabilmektedir. Eğer kapalı sistemle anestezi uygulanmak isteniyorsa düşük akımlı anestezi seçilmelidir. Baralaym, sodalaymdan daha çok volatil ajanlarla tepkimeye girmektedir. Oysa absorbanın biraz nemlendirilmesi bile CO oluşumunu önemli düzeyde azaltmaktadır. Moon (110), kazayla intraoperatif CO zehirlenmesinden kaçınmak için günlük uygulamalara başlamadan önce sistemin 5 lt. yada daha fazla saf oksijen akımıyla yıkamasını ve absorbanın sıkça değiştirilmesini önermektedir. Sodalaym kurumasın diye şu önlemler alınmalıdır: a) CO₂ absorbanı sadece kullanılacağı zaman doldurulmalıdır. b) Eğer CO₂ absorbanını doldurmaya fırsat olmadan acilen makinenin kullanılması gerekiyorsa taze gaz akımı dakika volümüne ayarlanmalıdır. c) Makine kullanılmadığı dönemde standbayda kalmalıdır, çalışır vaziyette bırakılırsa sodalaym kurumaktadır. d)

Her anestezi uygulamasından sonra flowmetreler kapatılmalı, hortumlar makineden ayrılmalıdır.

d-Sodalaymada anestezik ajanla tepkimeye giren: Sodyum hidroksit (NaOH) ve potasyum hidroksit (KOH)dır. Daha sonra Murray ve ark. (111), NaOH ve KOH yerine Ca-klorid+Ca-sülfat içeren yeni bir absorban bulmuştur: Kalsiyum hidroksilaym Ca(OH)_2 -laym. Bu, CO oluşumu tehlikesini önemli ölçüde azaltmıştır.

e-Hidrojen ve metan patlayıcıdır. Düşük akımlı anestezide bunların patlayıcı olduğu sınıra kadar gaz birikmesi pek olası değildir.

f-Haloalkenler: Volatil anesteziklerle CO_2 absorbanları arasındaki kimyasal etkileşim sonucu haloalken oluşumu NaOH ve KOH ile ilişkili bulunmuştur. Absorbandan sadece KOH 'in çıkarılması haloalken oluşumunda önemli derecede azalmaya neden olmuştur (112). Ca(OH)_2 -laym kullanımı ile haloalken oluşumu önlenmiştir (111).

2.4.3. Düşük akımlı anestezi tekniklerinin kontrendikasyonları

Mutlak kontrendikasyonları (103)

1-Duman yada gaz zehirlenmesinde zararlı gaz hızla sistemden uzaklaştırılmalıdır. Oysa düşük akımla bunu sağlamak zor olmaktadır.

2-Malign hipertermide metabolizma çok hızlanmaktadır. O_2 gereksinimi çok artmaktadır. Düşük akımla bu ihtiyaç karşılanamayabilmektedir.

3-Septisemi

4-Sodalaym tükenmesi

5- O_2 monitörü yetersizliği

6-Anestezik ajan monitörü yetersizliği

Göreceli kontrendikasyonları (103)

1-10-15 dk.'dan daha kısa süren inhalasyon anestezisinde taze gaz akımının düşürülmesi uygun olmamaktadır. Çünkü bu durumda özellikle N_2O kullanımıyla ilgili önemli sakincalar ortaya çıkmaktadır. Bunlar yeterli denitrojenasyon, yetersiz anestezi derinliği ve gaz hacim eksikliği olmaktadır.

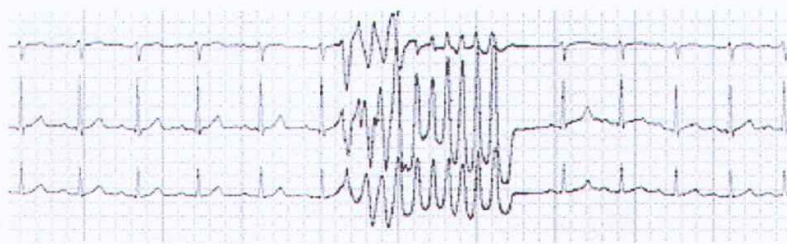
2-Solunum sisteminin tolere edilebilenden daha fazla kaçagina sebep olması

- 3-Gaz akım ayarlarının düşük akıma uyarlanamaması
 4-Yüz maskesi ile anestezi uygulaması
 5-Rijit bronkoskopi işlemi
 6-Kafsız endotrakeal tüp kullanılması (tüp kenarından çok kaçak olması durumunda)
 7-Yeniden solutmasız sistemlerin kullanımı
 8-Akut bronkospazmli hastalarda, gaz rezervuarı bulunmayan anestezi makinelerini kullanımı
 9-Tehlikeli eser gaz birikimi ihtimali varsa gaz akımı en az 1 lt/dk. olmalıdır. Bu şekilde sürekli yıkama etkisi güvence altına alınmış olur. Minimal akımlı yada kapalı sistemle anestezi gibi aşırı derecede düşük akımlı anestezi kullanımı bu durumlarda kontrendikedir. Bu klinik durumlar:
- Dekompanse DM
 - Uzun süreli açlık durumu
 - Kronik alkoliklerde anestezi uygulaması
 - Akut alkol zehirlenmesi olan hastalarda anestezi uygulanması
 - Bölgesel kanlanması ileri derecede azalmış ve yoğun transfüzyon yapılan aşırı sigara içicisi hastalar
 - $\text{Ca}(\text{OH})_2$ -laym kullanılmadıkça 3 sa.'ten uzun süren olgularda halotan yada sevofluran kullanımı.

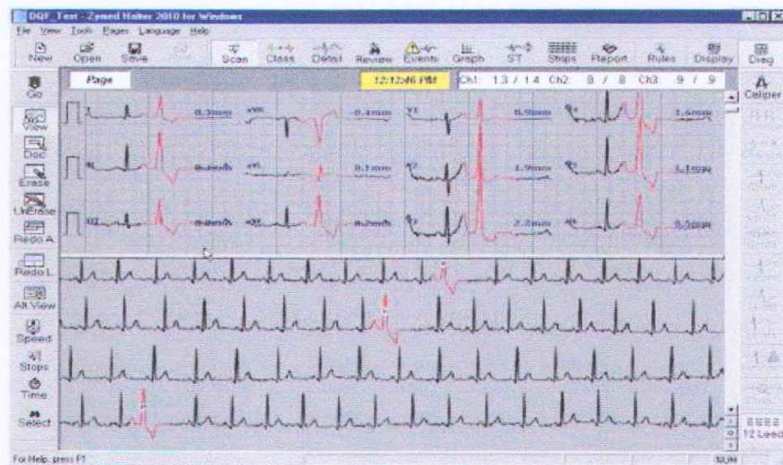
2.5. Holter monitorizasyonu

Sürekli Ambulatuar Elektrokardiyografi (EKG) (Holter monitorizasyon), California Üniversitesinde bir fizyolog olan Dr. Norman J Holter tarafından geliştirilmiştir. Holter monitorizasyon, ritm ve iletim bozukluklarının tanısında ve takibinde önemli bir metod olarak görülmektedir. Rutin olarak uygulanan EKG ile tespit edilemeyen disritmilerin tanısında kullanılmaktadır (113). En sık kullanılan ambulatuar EKG kayıt metodudur. Cihaz 2 veya 3 farklı derivasyonun kaydına izin veren bipolar elektrotlara bağlıdır. Hastanın göğüs duvarına 4 elektrot yerleştirilir, genellikle bu elektrotlardan biri V_2 , diğeri V_5

derivasyonunun kaydedildiği noktaya yerleştirilir, diğer ikisi her iki klavikula altına yerleştirilir. Cihaz elde edilen bilgiyi mikrokasete, manyetik teyip kasetine veya kompakt diske kaydeder. Daha sonra bilgi dijital bir şekilde çevrilip, bilgisayar yazılımı aracılığı ile analiz edilir (114).



Resim I: Holter monitorizasyonu ile yakalanan bir aritmi



Resim II: İnteroperatif Holter monitorizasyonu ile elde edilen aritmilerin bilgisayar ortamında görülümü

Holterin kullanım endikasyonları (114);

- 1- Kardiyak aritmi olabilecek semptomların varlığı: çarpıntı, baş dönmesi, senkop
- 2- Standart EKG'de ritim bozukluğu saptanan durumlar (ventriküler ekstrasistol, WPW, bradi-taşiaritmiler , AV blok)
- 3- Koroner arter hastalıkları

- 4- Mitral kapak prolapsusu
- 5- Kardiyomiyopatiler: Dilate ve hipertrofik kardiyomiyopatilerde ventriküler aritmi varlığı kötü prognostik faktördür.
- 6- "Pacemaker" fonksiyon bozukluğu
- 7- Kalple ilgili cerrahi girişimler sonrası: Doğuştan kalp hastalıklarının düzeltici ameliyatlarından sonra genellikle kardiyak aritmiler ortaya çıkabilmektedir.
- 8- Antiaritmik tedavi izlemi: Başlanılmış olan antiaritmik tedavinin etkinliğinin belirlenmesi için kullanıldığı gibi yeni başlayan antiaritmiklerin yan etkilerinin (proaritmik etki) izlemi açısından önemlidir.
- 9- Uyku-apne sendromu
- 10- Normal populasyonda araştırma amacıyla

Holter kayıtları, disritmiyi başlatan veya sonlandıran olaylar kadar, disritmilerin tipleri, sıklığı ve süresinde göstermektedir.

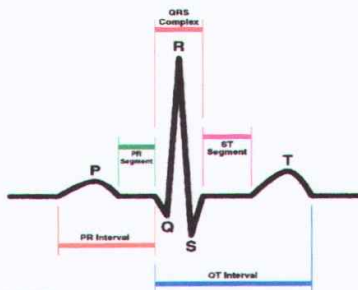
Holter yorumunda sırasıyla;

- 1- Asıl ritm ve kalp hızı aralığı,
- 2- Saptanan disritminin tipi, süresi ve sıklığı,
- 3- Hastanın aktivitesi ve semptomları ile disritmi arasındaki ilişki,
- 4-Eğer hastada göğüs ağrısı şikayeti varsa, aktivite ve semptomlarla ST segment değişiklikleri arasındaki ilişki belirlenebilmektedir.



Resim III: Holter Cihazı

2.6. OT Dispersiyonu



Şekil III: Normal EKG

QT dispersiyonu, 12 kanallı çekilmiş elektrokardiyogramda en uzun ve en kısa QT intervali arasındaki fark olarak tanımlanmaktadır ve özellikle repolarizasyonun indirekt ölçümü kabul edilerek, kompleks ventriküler aritmiler ile ilişkilendirilmiştir (115). Day ve ark. (116), elektrokardiyografik derivasyonlar arasındaki QT intervalinde oluşan farklılıkların, uniform olmayan bir repolarizasyon olayını yansittığını ileri sürmüşler ve QT intervalindeki derivasyonlar arası farklılığı da, QT dispersiyonu (QTd) olarak tanımlamışlardır. QTd, konjestif kalp hastalıkları, intraventriküler iletim bozuklukları, myokardiyal iskemi, myokardit gibi patolojilerde izlenebilmektedir. Literatürde, genel anestezi sırasında QT uzamasına veya QTd'da artışa bağlı hayatı tehit eden aritmiler ve ani ölümler bildirilmiştir. QTd süresinin 100 ms'ye eşit olması veya aşması durumunda ciddi ventriküler disritmilerin oluşma riski artmaktadır (117,118). De Bruyne ve ark.'nın (119), gerçekleştirdiği Rotterdam çalışmasında; QT dispersiyonu, kardiyak mortalitede bağımsız bir faktör olarak belirtilmektedir. Anestezi pratığında kullanılan ajanların pek çoğu, QT intervali ile etkileşmektedir. QT intervali, QRS kompleksinin başlangıcından T dalgasının sonuna kadar olan süre olup, bu süre içinde miyokardın depolarizasyonu ve repolarizasyonu gerçekleşmekte ve sonuçta ventrikül sistolünün total süresi yansıtılmaktadır. Normal şartlarda QT intervali, otonomik tonus, kalp hızı (KH), cinsiyet ve sirkadiyen ritimden etkilenmektedir. Anestezide kullanılan ilaçlardan

süksinilkolin, sodyum tiyopental, halotan, enfluran, izofluran ve sevofluran'ın QT intervalini uzattığına ilişkin yayınlar bulunmaktadır (61,120-122). Oluşan QT interval farklılıklarını, homojen olmayan repolarizasyon ve ventriküler aritmiler ile ilişkili olduğu tespit edilmiştir. KH'a göre düzeltilmiş QT süresinin (QTc) 440 milisaniye (msn)'yi aşması, QTcd (düzeltilmiş QT dispersiyonu) >70 msn. (123) patolojik kabul edilmektedir.

2.7. Kalp Hızı Değişkenliği

Genel anestezi altında kardiyovasküler otonomik tonusun incelenmesi, özellikle kullanılan ajanların kardiyak etkileri hakkında önemli bilgiler verebilir. Sempatik ve parasempatik denge hakkında bilgi veren KHD analizi, kardiyak otonomik tonusun bir ölçütü olarak kullanılmaktadır. KHD, sinus hızında zaman içinde meydana gelen periyodik değişiklikler olarak tanımlanabilir

KHD'deki DF (0.04-0.15 Hz) sempatik aktivitede artış veya parasempatik aktivitede azalma ile direkt ilgilidir. YF ise (0.15-0.4 Hz) solunumla ilişkili olup, parasempatik aktivasyonu yansıtır. DF/YF oranı ise, otonomik tonus, yani sempatovagal denge hakkında bilgi vermektedir (124,125).

2.8. Bispektral İndeks(BIS)

Yillardan bu yana anestezi derinliğinin belirlenmesi anestezist için önemini koruyan bir konu olmuştur. Hemodinamik parametreler olan kan basıncı, kalp atım sayısı ve stres cevap olarak bilinen gözde kızarma ve yaşarma gibi bulguların yanında, daha teknik olan ve daha erken aşamada uyanıklığı gösteren monitörler geliştirilmeye devam edilmektedir. Bu amaçla ilk kullanılan yöntem EEG izlemi olmaktadır. Operasyon sırasında EEG monitörizasyonu aygıtın büyüğlüğü, eş etkinliğe sahip yöntemlerin bulunması, yüksek konsantrasyondaki anestezik ajandan kaçınma gereksinimleri nedeniyle sınırlanmaktadır. Daha önceden beyin hasarı olan hastalarda,

doğruluğunun kuşkulu olmasına kullanıcıyı sınırlayan bir diğer neden olmaktadır. İskemiye eşlik eden değişiklikleri, hipotermi, anestezik ajanla, elektrolit bozuklukları ve hipokarbide taklit edebilmektedir. Bu nedenle EEG değişiklikleri her zaman güvenilir olmamaktadır (126).

Bir diğer intraoperatif monitörizasyon yöntemi uyarılmış potansiyeller olmaktadır. Endikasyonları; kardiyopulmoner bypass, karotis endarterektomisi, spinal füzyon, torakoabdominal aortik anevrizma cerrahisi ve kraniyotomi gibi olası nörolojik hasara neden olabilecek cerrahi girişimler olarak sıralanmaktadır. Ekipman ve yetişmiş personel ihtiyacı kullanımını kısıtlamaktadır. Çalışma prensibi duyusal uyarılara elektrofizyolojik yanıtları ölçerek nöral fonksiyonun noninvazif yolla belirlenmesini sağlamaktadır. Görsel, işitsel, somatosensoriyal uyarılmış potansiyeller ve motor uyarılmış potansiyeller bu amaçla kullanılabilmektedir. Bu cihazlarda hipotermi ve anesteziklerden etkilendiğinden farmakolojik faktörlerin sabit tutulmasını gerektirmektedirler (126).

Yeni geliştirilmiş bir EEG cihazı olan BIS, hücresel cevapları hızlı bir "fourier" dönüştürücüden geçirerek geleneksel güç spektrumuna götürmektedir. BIS aygıtı verileri bir dizi basamaktan geçirdikten sonra anestezi derinliği ile ilgili tek bir sayı hesaplamaktadır. BIS; üç analiz adımının kombinasyonu kullanılarak eş zamanlı hesaplanmaktadır. İlk adım; hareket, elektromiyografi (EMG) veya elektrokotelerle oluşan artefaktları içeren segmentleri saniye saniye EEG sinyalinde ayıran ve işaretleyen bir EEG ön işlemcidir. Suprese (baskılanmış) EEG segmentleri de tanımlanmış, bu segmentler ileri aşama dışında tutulmuştur. İkinci adım; önceden tanımlandığı şekilde geliştirilmiş algoritm kullanılarak, seçilmiş EEG özelliklerinin kombinasyonu yoluyla hipnoz-sedasyon indeksinin hesaplanmasıdır. Üçüncü adımda; hipnoz/sedasyon indeksi, EEG'deki süpresyon düzeyini daha iyi yansıtacak şekilde modifiye edilerek, süpresyon oranı; artefaksız verilerdeki süprese EEG yüzdesi şeklinde hesaplanmıştır (126). BIS değeri bir monitörde gösterilen tek bir sayısal değerdir. Bu değer, 30 saniyenin üzerindeki EEG kayıtlarından elde edilen veriler ile oluşturulur. Bu bilgiler ortalama her 2-5 saniye arasında kaydedilmektedir. Verileri bu şekilde yuvarlama, BIS

indeksindeki gereksiz dalgaların maliyetini önlemektedir. Aynı zamanda hipnotik durumda ani değişiklikler olduğunda BIS indeks değeri hastadaki klinik değişikliğin 5-10 saniye sonrasında oluşur. 65-85 arası BIS değerleri bir sedasyon ölçüsü olup, genel anestezi için 40-65 arası değerler önerilmektedir. BIS analizi bu yolla hem sayısal değerlendirme sağlamakta hemde amnezi için daha az ilaç gerektirmekte hemde hızlı uyanma sağlayarak, derlenme odasında kalış süresini azaltmaktadır. Buna rağmen maliyetinin yüksek olduğuna, bazen de 65 ve altındaki değerlerde intraoperatif farkında olmaya neden olduğuna dair çalışmalarla bulunmaktadır (127).

Tablo IV; BIS Düzeyine Göre Klinik Durum Ve EEG'nin Esas Özellikleri

BIS Düzeyi	Klinik Durum	EEG'nin esas özelliği
100	Uyanıklık	Senkronize yüksek frekans aktivitesi
80	Uyanıklık alt sınırı	Senkronize normal frekans aktivitesi
60	Hafif hipnotik düzey	Normal düşük frekans aktivitesi
40	Derin hipnotik düzey	EEG'de bir miktar baskılanma
0	İzoelektrik EEG	Total baskılanma

BIS'in üç temel özelliği vardır (127);

1-Kortikal EEG'nin bir kısmı derin yapılarındaki aktiviteyi göstermektedir. Bu komponent uykuya sırasında değişmektedir.

2-BIS istatistiksel olarak elde edilmiş bir ölçümdür.

3-BIS, beynin bir andaki elektriksel aktivitesini ölçer. Belli bir ilaç konsantrasyonunu ölçemez.

Teorik olarak; beynin durumunun monitörizasyonu, diğer monitörize oluşumlarla ve klinik bulgularla beraber, hipnotik ve analjezik ajan kullanımını daha iyi dengeler.

Potansiyel olarak BIS'in kullanımı aşağıda belirtilen kazançları sağlayabilmektedir (128);

- 1-Uyanma riskinin azalması,**
- 2-Kişisel ihtiyaçlara göre hypnotik ajan verilebilmesi ve böylece aşırı doz veya yetersiz doz verme olasılığının azalması,**
- 3-Daha iyi derlenme, derlenme süresinin kısalması,**
- 4-Anestezik ilaçların daha mantıklı seçilmesi.**

2.9. Modifiye Aldrete Derlenme Skoru (MADS)

Aldrete Skorlama (AS) sistemi hastaların anestezi veya cerrahi sonrası bakım ünitelerinden taburcu olacakları bölüme transferlerini sağlamada güvenle ve yaygın olarak kullanılmaktadır. Bu sistemde olgular 10 puan üzerinden değerlendirilir, ağrı ve bulantı sorgulanmaz (129).

Tablo V: Modifiye Aldrete Skoru (Anestezi Sonrası Derlenme Skoru)

Bilinç durumu	SKOR
Tamamen uyanık ve oryante	2
Seslenmekle uyandırılabilirsiniz	1
Cevap vermiyor	0
Fizik Aktivite	
Tüm ekstremiteler hareketli	2
İki ekstremité hareketli	1
Ekstremité hareketi yok	0
Hemodinami (başlangıç değerine göre)	
Arter kan basıncı \pm 20 mmHg	2
Arter kan basıncı \pm 20-50 mmHg	1
Arter kan basıncı \pm 50 mmHg	0
Solunum	
Derin soluyabiliyor ve rahatça öksürüyor	2
Dispne, sınırlı solunum veya takipne	1
Apneik veya mekanik ventilasyonda	0
Oksijenasyon	
Oda havasında $SpO_2 > %92$	2
$SpO_2 > %90$ olması için O_2 gereklili	1
O_2 desteğine rağmen $SpO_2 < %92$	0
TOPLAM	
	≥ 9

GEREÇ VE YÖNTEM

Çalışmaya hastane Etik Kurul onayı alındıktan sonra (2008/008), ASA I-II sınıfında, 18-55 yaş arasındaki septorinoplasti geçirecek 49 hasta dahil edildi. QT intervalini etkileyen ilaçları kullanan (antiaritmik ilaçlar, betablokerler, pozitif inotropik ajanlar, trisiklik antidepresanlar, fenotiazinler) hastalar, aritmileri, dal blokları veya preeksitasyonları olan ve normal sinus ritmine sahip olmayan hastalar, kalp kapak hastalığı, iskemik kalp hastalığı, perikardiyal effüzyonu olan hastalar, sekonder veya idiopatik uzun QT sendromu tanısı almış olan hastalar, endokrin herhangi bir hastalığı olan ve elektrolitleri (Na^+ , K^+ , Ca^+) normal sınırlarda olmayan hastalar çalışmaya dahil edilmedi.

Ameliyathaneye alınan hastalara 20 gauge (G) granül ile damar yolu açılarak 5 ml/kg/sa hızda ringer laktat solüsyonu ile infüzyon başlanarak, premedikasyon amacıyla 0.015 mg/kg iv. midazolam yapıldı. Hemodinamik takip amacıyla sistolik arteriyel kan basıncı (SAB), diastolik arteriyel kan basıncı (DAB), ortalama arter basıncı (OAB), kalp hızı (KH) ve periferik oksijen saturasyonu (SpO_2) ile monitorize edildi. Ek olarak sürekli EKG kaydı sağlayabilmek için tüm hastalara Holter cihazı (Del Mar Reynolds Medical, Lifecard CF, ABD) anestezi indüksiyonundan 10 dk önce bağlandı. Anestezi derinliğinin ölçümlünde elektrofizyolojik bir yöntem olan BIS'ten faydalananmak amacı ile BIS Monitor Model A-2000 (Aspect Medical Systems, Newton, ABD) ile monitorizasyon yapıldı. Anestezi indüksiyonu 1 $\mu\text{g}/\text{kg}$ fentanil, 4-7 mg/kg sodyum tiyopental ile sağlandı ve kas gevşemesi için 1 mg/kg rokuronyum kullanıldı. Endotrakeal entübasyondan sonra olgular, inhalasyon ajanı olarak yüksek akım desfluran (Grup I) veya düşük akım desfluran (Grup II) kullanılmasına göre rasgele 2 gruba ayrıldı. Randomizasyon hastaların opersyon öncesi hazırlanan kapalı zarların seçimi yolu ile gerçekleştirildi. Düşük akımlı genel anestezi uygulanacak hastalarda (Grup II), 10 dk boyunca %70 N_2O +%30 O_2 (4,4 lt/dk akım) ile %4-6 konsantrasyonda desfluran uygulaması ardından; %50 N_2O +%50 O_2 (1 lt/dk akım) ile desfluran

konsantrasyonu %0.5-1 daha artırılarak hastaya ait dakika ventilasyonu (MV) hesaplanan değerden 0.5 lt/dk daha yüksek olacak şekilde anestezi idamesi uygulandı. Bu grup hastalarda anestezi idamesi boyunca inspiratuar O₂ konsantrasyonu (FiO₂) 0.30 üzerinde tutuldu ve anestezi sırasında hastanın solumasına izin verilmedi. Anestezi sonlandırılmadan 10 dakika önce yüksek akıma geçildi (%50 N₂O+%50 O₂ 4 lt/dk). Yüksek akımlı anestezi grubundaki hastalarda (Grup I), %50 N₂O+%50 O₂ 4 lt dk⁻¹ akım ile %4-6 konsantrasyonda desfluran uygulaması yapıldı. Çalışmada, Drager-Julian anestezi cihazı (Drager, Lübeck, Almanya) kullanıldı. CO₂ absorbanı olarak CaOH-laym (Intersorb plus, Intersurgical, Wokingham, Berkshire, İngiltere) (sodalaym) kullanıldı. CO birkimini engellemek için absorbanın kuru olmaması sağlanarak her olguda CO₂ absorbanı yenilendi, tek kullanımlık anestezi devresi ve bakteri滤resi kullanıldı. Kullanım öncesi soda-laym nemlendirildi. Tüm hastaların anestezi uygulaması esnasındaki desfluran konsantrasyonları, BIS değerleri 40-60 arasında olacak şekilde ayarlandı. İntraoperatif hemodinamik parametreler (OAB veya KH), preoperatif değerlerin ± %20 sınırlarında olacak şekilde ayarlandı. Hastalara kontrollü hipotansif anestezi olarak indüksiyondan 5 dk. önce esmolol bolus 1 mg/kg uygulandıktan sonra 100-150 µ/kg/sa'te uygulanması ve anestezi derinliği yetersiz ise 1 µg/kg fentanil iv uygulaması kararlaştırıldı. Anestezi süresince OAB 65-85 mmHg olacak şekilde esmolol infüzyonu uygulandı. FiO₂ ve ekspiratuar (FetO₂) O₂ konsantrasyonu, inspiratuar (FiN₂O) ve ekspiratuar (FetN₂O) azot protoksit konsantrasyonu, end-tidal karbondioksit konsantrasyonu (FetCO₂) takibi yapıldı. Hastaların, anestezi yüzdesi (%Anestezi), ekspiratuar gaz konsantrasyonu (FetDes), inspiratuar gaz konsantrasyonu (FiDes), dakika ventilasyonu (MV), MAK, SAB, DAB, KH, OAB, ölçümleri bazal, indüksiyon sonrası, entübasyon, lokal anestezi, cerrahi insizyon ve düşük akıma geçme zamanı ve sonrasında her 15 dk. arayla kaydedildi. Tüm grplarda son cilt dikişini takiben anestetik gazlar kesildi ve O₂ akımı 6 lt/dk'ya çıkarılarak %100 O₂ ile manüel ventilasyona geçildi. Spontan solunum sağlandıktan sonra rezidüel nöromusküler blok 0.04 mg/kg neostigmin ve 0.015 mg/kg atropin ile döndürüldü. Hastalarda yeterli spontan

solunumun gözlenmesi, sözlü uyarılar ile gözlerini açabilmesi sonucu nöromusküler iletinin yeterli olduğuna karar verilip ekstübasyon yapıldı. Postoperatif dönemde MADS 5., 10., 15., 30. ve 60. dk.'larda değerlendirilerek dokuz ve üzerinde puan alan hastalar derlenmiş olarak kabul edildi.

Derlenme periyodunun 15. dk'ına kadar holter cihazı ile sürekli EKG kaydı alındı.

Holter cihazı ile EKG kayıtlarının incelenmesi aynı kardiyolog tarafından yapıldı. Hastalara ait minimal kalp hızı (KHmin), maksimal kalp hızı (KHmax), ortalama kalp hızları (OKH), KHD'liği parametreleri olan DF ve YF ölçümü ile DF/YF oranı, Global Sempatik İndeks (GSİ), R-R süreleri, preoperatif, intraoperatif, ekstübasyon sonu dönemlerinde yapıldı. Ayrıca atriyal (AES) ve ventriküler (VES) aritmilerin sayısı belirlendi. QT intervali ise tüm operasyon boyunca incelendi. QT interval ölçümleri Bazett formülü kullanılarak düzeltildi ($QTc = QT\sqrt{RR}$). QTd ve QTcd, en uzun ve en kısa QT ve QTc intervali bulunarak, GSİ ($\frac{CDF+DF}{YF}$) normalize edilmiş düşük frekans komponenti (DFn) $DF/DF+YF$ ve normalize edilmiş yüksek frekans komponenti (YFn) $YF/YF+DF$ oranı ile hesaplandı.

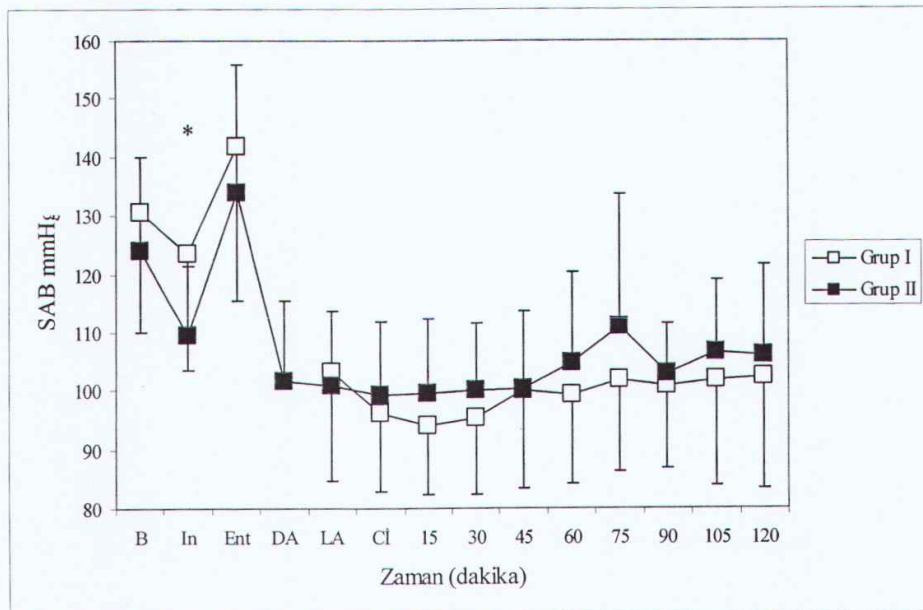
Gruplara ait veriler ortalama \pm standart deviasyon (SD) olarak verildi. Verilerin istatistiksel incelemesinde, gruplar arası demografik değerler, operasyon özellikleri, hemodinamik değerler için Ki- kare ve Student-t testleri kullanıldı. Her grubun kendi içindeki evrelerde olan değişimlerin incelenmesinde ise, tekrarlı ölçümlerde varyans analizi (ReANOVA) ve tespit edilen anlamlılıkların belirlenmesinde Paired-t testi kullanıldı. Grupları Holter monitörizasyon sonuçları Mann Whitney-U testi ile değerlendirildi. $P < 0.05$ değeri istatistiksel olarak anlamlı kabul edildi.

BULGULAR

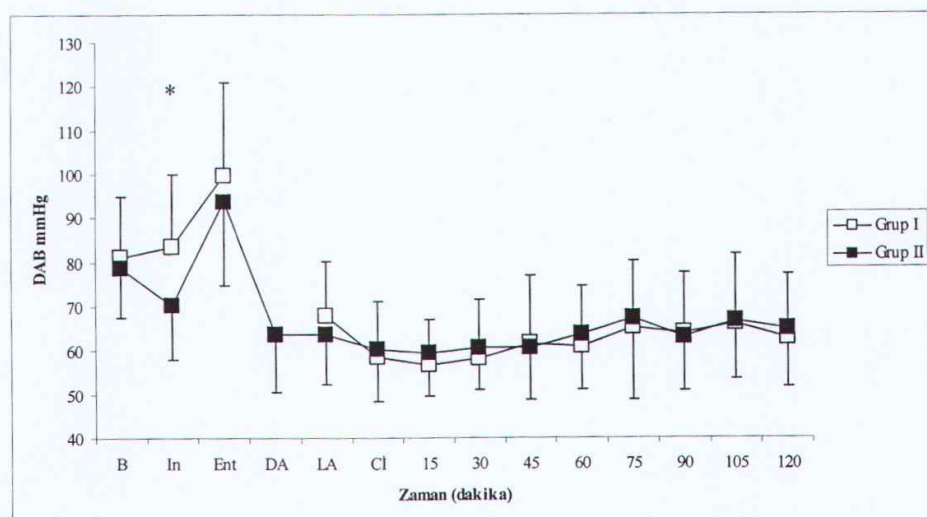
Çalışmayı düşük akım grubunda 24 hasta, yüksek akım grubunda 25 hasta tamamladı. Randomizasyona alınan hiçbir hasta çalışma dışı bırakılmadı. Grupların demografik değişimleri, operasyon ve anestezi süreleri Tablo VI'da gösterildi. Gruplar arasında yaş, kilo, boy ortalamaları bakımından istatiksel olarak anlamlı bir farklılık yoktur ($p>0.05$). Ki-kare testi ile yapılan karşılaştırılarda, cinsiyete bakıldığından gruplar arasında anlamlı farklılık gözlenmedi ($p>0.05$).

Tablo VI: Hastaların demografik değişimleri, operasyon süreleri, anestezi süreleri. Ort. \pm SD.

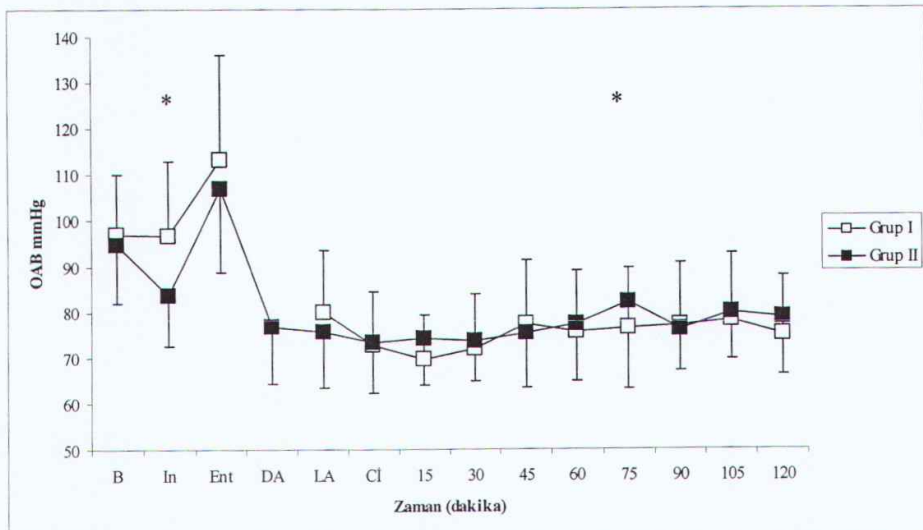
	Grup I n=25	Grup II n=24	p değeri
Yaş(yıl)	29,760 \pm 10,10	28,833 \pm 8,095	0,4
Boy(cm)	164,9 \pm 8,8	166,3 \pm 7,9	0,9
Ağırlık(kg)	66,880 \pm 12,768	64,041 \pm 11,983	0,8
Cinsiyet(K/E)	16/9	13/11	0,2
Operasyon Süresi(dk)	185,240 \pm 67,115	119,083 \pm 49,993	0,2
Anestezi Süresi(dk)	222,480 \pm 70,750	153,291 \pm 49,046	0,07



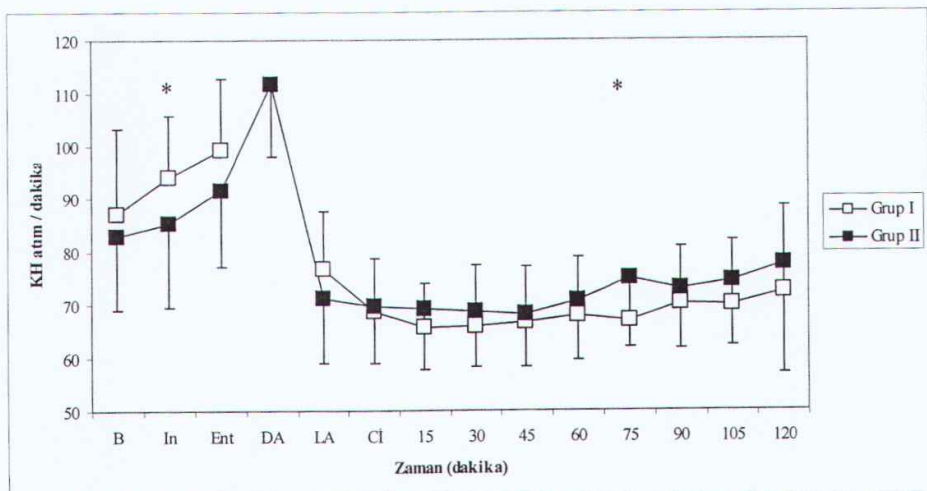
Grafik I: Grupların Sistolik Arter Basınç (SAB) değişiklikleri.*: p<0.05 (B: Bazal, In: indüksiyon, Ent: Entübasyon, DA: Düşük Akım, LA: Lokal Anestezi, Cl: Cerrahi İnsizyon)



Grafik II: Grupların Diastolik Arter Basınç (DAB) değişiklikleri, *: p<0.05 B: Bazal, In: indüksiyon, Ent: Entübasyon, DA: Düşük Akım, LA: Lokal Anestezi, Cl: Cerrahi İnsizyon)



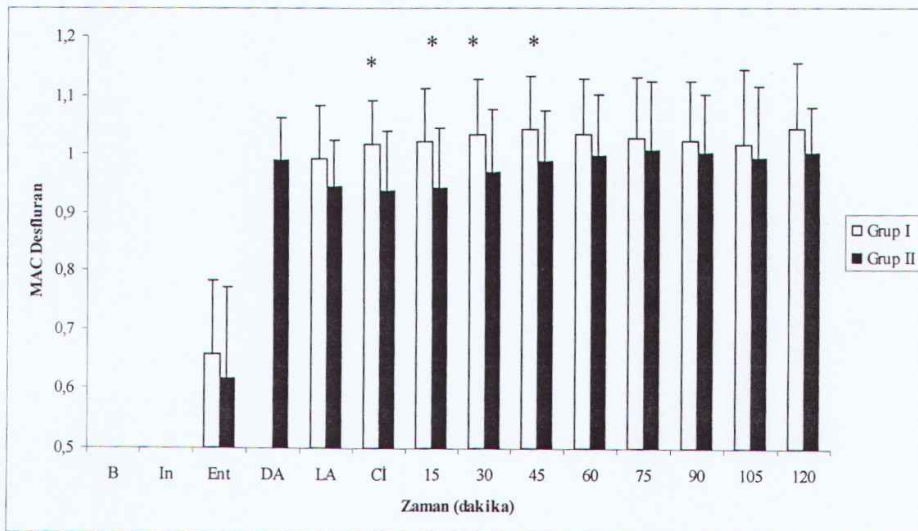
Grafik III: Grupların Ortalama Arter Basıncı (OAB) değişiklikleri, *: $p<0.05$ B: Bazal, In: indüksiyon, Ent: Entübasyon, DA: Düşük Akım, LA: Lokal Anestezi, CI: Cerrahi İnsizyon)



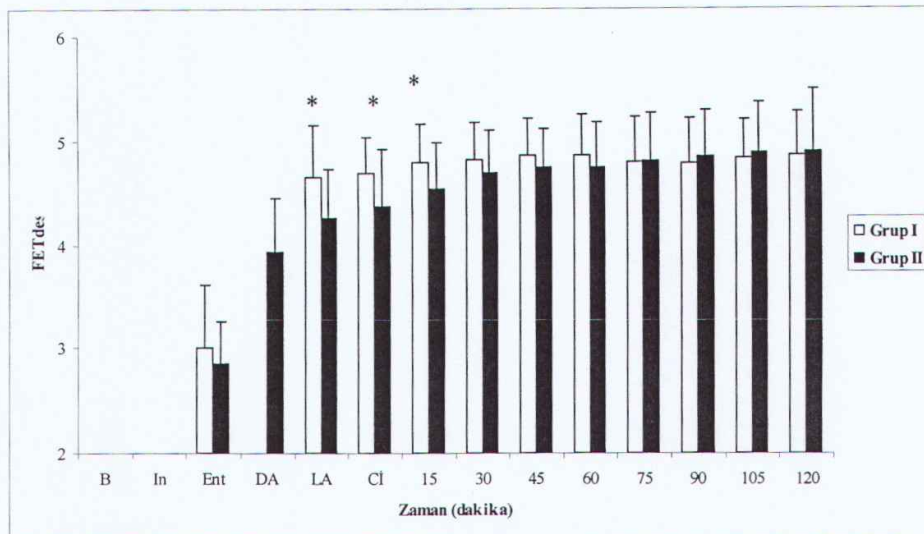
Grafik IV: Grupların Kalp Hızı (KH) değişiklikleri, *: $p<0.05$ B: Bazal, In: indüksiyon, Ent: Entübasyon, DA: Düşük Akım, LA: Lokal Anestezi, CI: Cerrahi İnsizyon)

Grupların intraoperatif SAB, DAB, OAB, KH değişimleri Grafik I-IV'te gösterildi. SAB, DAB, OAB ve KH'ında indüksiyonda, ayrıca OAB ve KH'da 75.dk'da istatistiksel olarak yüksek akım (Grup I) grubunda anlamlı bir artış saptandı, diğer zaman dilimlerinde herhangi bir farklılık gözlenmedi.

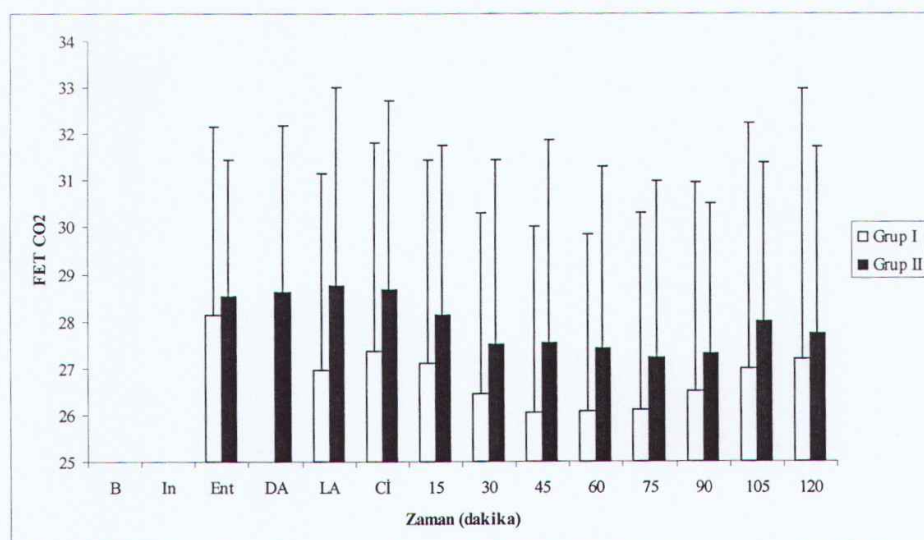
MAK değişimleri Grafik V'te gösterildi, cerrahi insizyon, 15.,30.,45. dk.'larda Grup I hastalarında istatistiksel olarak anlamlı artış saptandı, diğer zaman dilimlerinde herhangi bir değişiklik bulunmadı. FetDes değişimleri Grafik VI'ta gösterildi. Lokal anestezi, cerrahi insizyon, 15.dk'da Grup I olgularında istatistiksel olarak anlamlı artış bulundu, diğer zaman dilimlerinde anlamlı bir farklılık saptanmadı. FetCO₂ değişimi Grup VII'de gösterildi, tüm zaman dilimlerinde benzer değişimler gözlendi.



Grafik V: Grupların Minimum Alveoler Konsantrasyon (MAK) değişiklikleri, *: p<0.05 (B: Bazal, In: indüksiyon, Ent: Entübasyon, DA: Düşük Akım, LA: Lokal Anestezi, Cl: Cerrahi İnsizyon)

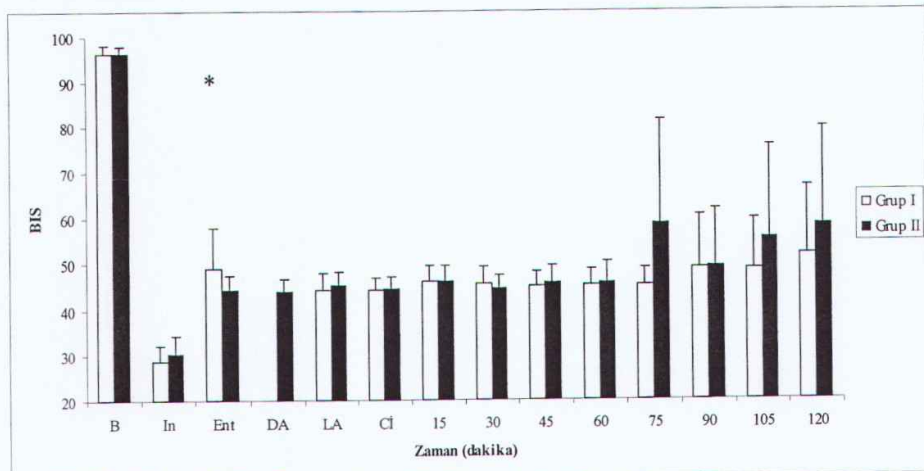


Grafik VI: Grupların Ekspiratuar Gaz Konsantrasyon (Fet Des) değişiklikleri, *: p<0.05 (B: Bazal, In: indüksiyon, Ent: Entübasyon, DA: Düşük Akım, LA: Lokal Anestezi, Cl: Cerrahi İnsizyon)



Grafik VII: Grupların End-Tidal Karbondioksit Konsantrasyon (FetCO₂) değişiklikleri. *: p<0.05 (B: Bazal, In: indüksiyon, Ent: Entübasyon, DA: Düşük Akım, LA: Lokal Anestezi, Cl: Cerrahi İnsizyon)

BIS değişimleri Grafik VIII'de gösterildi, Grup I'de entübasyonda istatistiksel olarak anlamlı bir artış bulundu, ancak diğer zaman dilimlerinde anlamlı farklılıklar gözlenmedi.



Grafik VIII: Grupların Bispektral İndeks (BIS) değişiklikleri. *: $p<0.05$ (B: Bazal, In: indüksiyon, Ent: Entübasyon, DA: Düşük Akım, LA: Lokal Anestezi, Cl: Cerrahi İnsizyon)

MV'nda Grup I'de anestezi indüksiyonu sırasında anlamlı artış gözlendi. FetN_2O ve FiN_2O değerleri Grup II'de entübasyonda, Grup I'de diğer zaman dilimlerinde anlamlı artış saptandı. FetO_2 ve FiO_2 değerleri incelendiğinde Grup I'de entübasyonda, diğer zaman dilimlerinde ise Grup II'de anlamlı artış saptandı ($p<0,05$).

Intraoperatif holter monitörizasyon bulguları Tablo II ve III'de özettelendi. KH, R-R mesafesi (RR), Q-T mesafesi (QT), QTc (Kalp hızına göre düzeltilmiş QT intervali). QTd Grup I'de $150 \pm 55,8$, Grup II'de $129,8 \pm 44,6$, QTcd Grup I'de $151,8 \pm 45,2$, Grup II'de $154,8 \pm 42,3$ olarak Ort. \pm SD saptandı. QTd Grup I'de, QTcd Grup II'de daha fazla olmak üzere her iki grupta da artmış olup, ancak istatistiksel olarak gruplar arasında anlamlı bir artış saptanmadı ($p>0,05$).

Tablo VII: İntrooperatif KH, RR, QT, QTc değişimleri. Mean (min-max)

	Grup I n=25	Grup II n=24	p değeri
KH	73,8 ± 7,8 (55,6-138,4)	73,3 ± 8,3 (54,3-130,8)	0,9 (0,6-0,09)
RR	825,2±85 (1643,7-3399,3)	830,8±97,5 (2173,8-3118,9)	0,9 (0,6-0,8)
QT	368 ±31,3 (269,3-426,2)	365,4 ± 29,2 (293-422,8)	0,8 (0,48-0,9)
QTc	405,4 ± 25,2 (336,5-488,3)	402 ± 33,7 (330,4-485,2)	0,6 (0,4-0,8)

Çok düşük frekans komponenti (ÇDF), DF, YF, DF/YF Tablo III'de gösterildi. Grup II'de ÇDF indüksiyon ve lokal anestezi'de, DF/YF cerrahi insizyon-ekstübasyonda anlamlı bir artış belirlendi ($p<0,05$). Diğer zamanlarda anlamlı bir farklılık saptanmadı ($p>0,05$).

Tablo VIII: İntrooperatif ÇDF, DF, YF, Total, DF/YF değişimleri. Ort. \pm SD, *:p<0,05. (İnd: İndüksiyon, Ent: Entübasyon, LA: Lokal Anestezi, Cl-Ekst: Cerrahi insizyon-ekstübasyon zaman aralığı, Ekst sonrası: Ekstübasyon sonrası)

	Grup I n=25	Grup II n=24	p değeri
ÇDF			
İnd	110,7 ± 179,2*	175,7 ± 207,3*	0,016
Ent	48 ± 64	90,7 ± 219,4	0,8
LA	44 ± 39,7	111,2 ± 124,9	0,016
Cl-Ekst	38,3 ± 62,1	63,1 ± 88,8	0,09
Ekst sonrası	61,3 ± 120,8	62 ± 73,6	0,1
DF			
İnd	38,5 ± 52,7	67,8 ± 121,7	0,3
Ent	28,0 ± 60,3	39,0 ± 95,3	0,8
LA	39,0 ± 72,2	79,0 ± 177,4	0,5
Cl-Ekst	25,6 ± 39,3	28,6 ± 47,2	0,9
Ekst sonrası	51,5 ± 127,5	30,9 ± 55	0,8
YF			
İnd	12,2 ± 28,3	13,0 ± 19,6	0,6
Ent	24,2 ± 41,2	26,9 ± 70,8	0,1
LA	35,0 ± 29,7	75,9 ± 219,6	0,4
Cl-Ekst	35,6 ± 40,3	20,7 ± 20,6	0,2
Ekst sonrası	37,3 ± 48,2	19,5 ± 19,7	0,2
TOTAL			
İnd	171,2 ± 235*	262,4 ± 341,1*	0,04
Ent	109,4 ± 163,3	153,6 ± 388,6	0,5
LA	132,3 ± 124,4	770,7 ± 2398,8	0,2
Cl-Ekst	85,7 ± 82,4	114,5 ± 142,4	0,5
Ekst sonrası	164,1 ± 297,1	118,4 ± 146	0,9
DF/YF			
İnd	5,6 ± 5,1	7,6 ± 7,3	0,9
Ent	1,1 ± 1,2	1,9 ± 2,9	0,2
LA	1,1 ± 1,3	1,5 ± 1,2	0,09
Cl-Ekst	0,7 ± 0,4*	1,3 ± 1,2*	0,012
Ekst sonrası	1,0 ± 0,8	1,2 ± 0,7	0,06

DFn, YFn, GSİ, Tablo IV'de gösterildi. Grup II'de, GSİ'de lokal anestezi, cerrahi insizyon-ekst. ve ekstübasyon sonrası, DFn'de lokal anestezi ve cerrahi insizyon-ekstübasyon dönemlerinde, Grup I'de YFn'de cerrahi insizyon-ekstübasyon dönemlerinde anlamlı artış saptandı ($p<0,05$).

Tablo IX: İntaoperatif DFn, YFn, GSİ değişimleri. Ort. \pm SD, *: $p<0,05$. (DFn: Normalize düşük frekans, YFn: Normalize yüksek frekans, GSİ: Global sempatik indeks)

	Grup I n=25	Grup II n=24	p değeri
DFn			
İnd	0,77 ± 0,17	0,74 ± 0,20	0,9
Ent	0,42 ± 0,21	0,51 ± 0,20	0,2
LA	0,42 ± 0,19	0,53 ± 0,20*	0,036
Cl-Eks	0,39 ± 0,11	0,50 ± 0,17*	0,016
Eks sonrası	0,43 ± 0,17	0,51 ± 0,14	0,06
YFn			
İnd	0,24 ± 0,14	0,25 ± 0,20	0,8
Ent	0,55 ± 0,24	0,47 ± 0,21	0,2
LA	0,57 ± 0,21	0,47 ± 0,18	0,08
Cl-Ekst	0,61 ± 0,11*	0,50 ± 0,17	0,016
Ekst sonrası	0,57 ± 0,16	0,49 ± 0,14	0,06
GSİ			
İnd	28,29 ± 36,31	35,74 ± 37,54	0,4
Ent	5,82 ± 11,26	7,07 ± 9,46	0,2
LA	3,27 ± 4,25	5,64 ± 4,02*	0,005
Cl-Ekst	2,10 ± 1,51	5,21 ± 5,10*	0,001
Ekst sonrası	2,68 ± 1,87	4,44 ± 2,49*	0,005

Hastaların preoperatif hematolojik, karaciğer-böbrek fonksiyon ve koagulasyon testleri Tablo V'de gösterildi. Preoperatif protrombin zamanı (PT) değerinde anlamlı bir artış saptandı ($p<0,05$). Diğer değerlerde anlamlı farklılık saptanmadı.

Tablo X: Preoperatif hematolojik, karaciğer-böbrek fonksiyonları, koagulasyon testlerindeki değişimler. Ort. \pm SD, *: p<0,05. (Hb:Hemoglobin, Htc:Hematokrit, Plt:Platelet, PT:Protrombin zamanı, PTT:Parsiyel tromboplastin zamanı, AST:Aspartat aminotransferaz, ALT: Alanin aminotransferaz, Cre:Kreatin, Alb: Albumin)

	Grup I n=25	Grup II n=24	p değeri
PreHb	13,5 \pm 1,2	13,9 \pm 1,64	0,05
PreHtc	39,7 \pm 3,4	4,1 \pm 4,7	0,05
PrePlt	222,5 \pm 56,6	224 \pm 41,1	0,2
PrePT	12,0 \pm 1,3	12,8 \pm 1,1*	0,024
PrePTT	29,6 \pm 2,9	31 \pm 3,7	0,3
PreAST	16,3 \pm 7,1	15,8 \pm 6,6	0,8
PreALT	16,0 \pm 6,7	17,5 \pm 9,7	0,2
PreÜre	26,4 \pm 5,3	24,5 \pm 6,7	0,4
PreCre	0,8 \pm 0,08	0,7 \pm 0,1	0,1
PreAlb	4,7 \pm 0,2	4,7 \pm 0,2	0,05

Postoperatif hematolojik, karaciğer-böbrek fonksiyon ve koagulasyon testleri Tablo VI'da gösterildi. Grup I'de postoperatif PT ve albumin değerinde anlamlı bir artış saptandı.

Tablo XI: Postoperatif hematolojik, karaciğer-böbrek fonksiyonları, koagulasyon testlerindeki değişimler. Ort. \pm SD, *: p< 0,05 (Hb:Hemoglobin, Htc:Hematokrit, Plt:Platelet, PT:Protrombin zamanı, PTT:Parsiyel tromboplastin zamanı, AST:Aspartat aminotransferaz, ALT: Alanin aminotransferaz, Cre:Kreatin, Alb: Albumin)

	Grup I n=25	Grup II n=24	p değeri
PostHb	13,30 \pm 1,18	13,69 \pm 1,61	0,06
PostHtc	39,36 \pm 3,31	40,68 \pm 4,66	0,2
PostPlt	220,20 \pm 56,11	217,45 \pm 43,49	0,4
PostPT	12,18 \pm 1,22	12,86 \pm 1,03*	0,039
PostPTT	29,80 \pm 2,91	30,96 \pm 3,75	0,3
PostAST	16,28 \pm 6,74	15,82 \pm 6,61	0,9
PostALT	16,26 \pm 6,56	17,63 \pm 9,72	0,2
PostÜre	26,58 \pm 5,26	24,65 \pm 6,72	0,3
PostCre	0,78 \pm 0,08	0,74 \pm 0,10	0,2
PostAlb*	4,73 \pm 0,15	4,66 \pm 0,23	0,02

Postoperatif erken dönemde bakılan MADS ve komplikasyonlar Tablo VII'de gösterildi. Grup II'de MADS 5., 15., 30., 60. dk.'larda anlamlı bir artış belirlendi (p<0,05). Erken derlenme komplikasyonu olarak Grup I'de 5. ve 10. dk'da 3, Grup II'de 2, ilk 5. dk'da Grup I'de 2, Grup II'de 1 hastada ajitasyon görüldü.

TARTIŞMA

Çalışmamız esmolol ile kontrollü hipotansiyon uygulanan septorinoplasti hastalarında desfluran ile yapılan düşük akım anestezisinin QT dispersiyonuna önemli bir etkisinin olmadığını göstermektedir.

Yüksek akım uygulanan hastalarda yapılan çalışmalar desfluran anestezisinin QT süresini uzattığını göstermektedir. 1 MAK sevofluran ve desfluran'ın karşılaşıldığı bir çalışmada, iki ajan kullanımında da hem QTc süresinde uzama, hem de QTd'de artış bildirilmiştir (130). Saarnivaara ve ark. (131), anestezik ajanların sempatoadrenal hiperaktiviteye yol açması durumunda ventriküler repolarizasyonda değişiklik olduğunu ve bu durumun, QTc intervalinde uzama ile sonuçlanabileceğini bildirmiştir. QTc intervalinde oluşan uzamanın, kalpteki otonom sinir sistemi inbalansını gösterdiğini ve ventriküler fibrilasyon eşliğini düşürerek, ventriküler aritmilere yol açabileceği önerilmiştir. Ayrıca tiyopental ile anestezi indüksiyonunda belirgin QT intervalinde uzama tespit etmişlerdir (132). Özkoçak ve ark. (133) izofluran anestezisi altında gerçekleştirilen laparoskopik cerrahideki pnömoperitonum evresinde QTc intervalinin 460 ms'ye ulaşarak kalpte aritmiye olan eğilimi arttığını bildirmiştir. Sevofluran'ın QT intervali ve dispersiyonu üzerine yapılmış çalışmalarında farklı sonuçlar görülmektedir. Abe ve ark. (134), sevofluran ve N₂O anestezisinde, ventriküler taşikardi gelişimini bildirmiştir. Sevofluran ile tek soluk indüksiyon tekniğinin kullanıldığı çalışmalarında, QT intervalinde belirgin uzama ve aritmi gelişiminde artış olduğu tespit edilmiştir (135). Karagöz ve ark. (136), halotan, izofluran ve sevofluranın etkilerini inceledikleri çalışmalarında, %2 sevofluran ve %50 O₂+%50 N₂O ile genel anestezi uygulamasında, QTc intervalinde değişiklik saptanmadığını rapor etmiştir. Benzer olarak 2 MAK sevofluran anestesi uygulaması ile QTc intervalinde değişiklik saptanmamıştır (137). Riley ve ark. (138) otonomik farmakolojik blokaj sağladıkları köpeklerde, halotan ve

izofluran anestezisi uyguladıklarında otonomik blokaj varlığında ve yokluğunda QT intervalinde uzama, enfluran anestezisinde ise otonomik blokaj yokluğunda QT'de uzama yokken QTc'de uzama tespit etmişlerdir. Üç inhalasyon ajanının da QTc'i uzattığını göstermişlerdir. Bu uzamanın inhalasyon ajanlarının myokard hücrelerine direk etkisinden dolayı olduğu sonucuna varmışlardır. Anestezi indüksiyon ve idamesinde halotan ve izofluranın kullanıldığı bir çalışmada halotanın QTc intervalini kısalttığı, enfluranın ise uzattığı tespit edilmiştir. Bu çalışmaya göre araştırmacılar uzun QT sendromlu hastalarda halotanın daha yararlı olabileceğine karar vermişlerdir. Ancak bu çalışmada bütün hastalara premedikasyonda midazolamın yapıldığını ve bunun da sonuçları etkileyebileceğini belirtmişlerdir. Premedikasyon uygulanmayan 1-2 MAK konsantrasyonda halotan, izofluran ve enfluran anestezisinde QT'de uzamanın olduğu tespit edilmiştir (139). McConachie ve ark. (140) tiyopental ve propofol indüksyonunu takiben enfluran ve isofluran inhalasyon ajanlarını uygulamışlardır. Propofolün tiyopentalden daha az QT intervalinde uzamaya neden olduğunu ancak enfluran ve isofluranın bunu ne ölçüde maskeleyebileceğini bilemediklerini belirtmişlerdir. Bu çalışmaya göre propofolün uzun QT sendromlu hastalarda tiyopentale göre daha uygun olabilceği sonucuna varmışlardır. Aypar ve ark. (141) inguinal herni operasyonu geçiren pediyatrik hastalarda kardiyak ritm ve QTc intervali üzerine desfluran ve sevofluran anestezisinin etkisini araştırmışlardır. Desfluran ile hiçbir hastada aritmi gözlenmezken, sevofluran uygulanan hastalardan bir tanesinde bigemine ve multiform ventriküler ekstrasistoller tespit edilmiştir. Desfluran grubunda QTc'de uzama görülmüş ancak, sevofluran da belirgin değişiklik gözlenmemiştir. Çalışmamızda yüksek akım ve düşük akım desfluran anestezisi uygulanan her iki grupta da QT ve QTc'de belirgin bir uzama saptanmadı. Ancak yüksek akım grubunda QTd, düşük akım grubunda da QTcd'de uzama tespit edildi. Sonuçlarımız ile literatür bulguları arasındaki farklılık olasılıkla kontrollü hipotansiyon için uyguladığımız esmolol infüzyonuna bağlıdır. Erdil ve ark. (142) koroner arter hastalığı olan anestezi indüksyonunda fentanil ve etomidat kullandıkları

hastalara esmolol infüzyonu uygulamışlar, endotrakeal entübasyonla ilişkili QTc uzamasını azalttığını bildirmiştir. Literatürde desfluran ile düşük akım uygulaması ve esmolol infüzyonunun birlikte uygulandığı bir çalışmaya rastlanmamıştır.

Desfluranın doza bağlı olarak insanlarda kalp hızını artırma özelliği pek çok çalışmada bildirilmiştir (13,14). Özellikle desfluranın, neonatal ve bebeklerde kullanılması, ayrıca hızlı bir şekilde konsantrasyonunun artırılarak 1 MAK'den yüksek dozlara çıkışması ve vagolitik ajanlar kullanılması durumlarında bu etkinin belirgin olduğu bilinmektedir (14). İspirasyonda konsantrasyonun hızla artırılması, hem trakeopulmoner hem de sistemik reseptör stimülasyonu ile kalp hızında artışa neden olmaktadır. KHD'deki, DF komponenti (0,04-0,15 Hz) sempatik aktivitede artış veya parasempatik aktivitede azalma ile direkt ilgilidir. YF komponenti (0,15-0,4 Hz) ise solunumla ilişkili olup, parasempatik aktivasyonu yansıtır. DF/YF oranı ise, otonomik tonus, yani sempatovagal denge hakkında bilgi vermektedir (124,125). Picker ve ark. (143), köpekler üzerinde desfluran, izofluran, enfluran ve sevofluran anestezisi altında KHD, DF, YF parametrelerini inceleyerek yaptıkları çalışmalarında; değişik konsantrasyonlarda desfluranda daha belirgin, sevofluran, izofluran ve enfluranda orta derecede, halotanda ise daha az kalp hızı artışının olduğunu tespit etmişler. Shubert ve ark. (144), intraabdominal cerrahide izofluran ve enfluran kullanılan olgularda, DF ve DF/YF oranının her iki grupta da intraabdominal stimuluslar sırasında maksimal artış gösterdiğini bildirmiştir. Nakatsuka ve ark. (125) elektif cerrahi planlanan hastalara sevofluran ve N₂O uygulayarak mekanik ventilasyon ve apne sırasında KH değişkenliğine etkilerini araştırmışlar. Uyanıklılık ve anestezi sırasında YF ve DF'yi karşılaştırdıklarında, her ikisinde de azalma tespit etmişler. %2 sevofluran anestezisinde apne sırasında YF'de azalma bulmuşlardır, ancak derin anestezide (izoelektrik EEG) tespit etmemiştir. Mekanik ventilasyon ve apne durumlarının her ikisinde de ölçülen YF'de farklılığa rastlamamışlardır. DF'de anestezinin hiçbir seviyesinde mekanik ventilasyon varlığında yada yokluğunda değişiklik görülmemiş. Çalışmamızda

DFn ve DF/YF'de düşük akım grubunda, YFn'de yüksek akım grubunda anlamlı bir artış tespit edildi.

Çalışmamızda desfluran ile uygulanan düşük ve yüksek akımlı anestezi uygulanması GSİ açısından değerlendirildiğinde düşük akımlı anestezi tekniğinde GSİ'nin arttığı tespit edilmiştir. Leung ve ark. (85) nonkardiyak cerrahi planlanan 40 hastaya desfluran ve isofluran anestezisi altında 3 kanallı holter monitorizasyonu ile KH ve OAB, ventriküler disritimileri karşılaştırmışlar. Desfluran grubunda opioid ve beta bloker kullanımının daha fazla olduğunu göstermiştir. Weiskopf ve ark. (86) desfluran anestezisinin doza bağlı olarak sempatik aktiviteyi artırarak kalp hızı ve arter basıncında yükselmeye neden olduğunu bildirmiştir. Choi ve ark. (145) sevofluran ve desfluran anestezi uygulanan hastalarda 0.5 mg/kg tek doz esmololun trakeal entübasyonda BIS'deki artış üzerine etkisini araştırmışlar. Entübasyon öncesi ile karşılaştırdıklarında, tek doz esmololun, sevofluran anestezisi sırasında 1. dakikada BIS'teki artışı azalttığını, ancak desfluran anestezisinde azaltmadığını tespit etmişler. White ve ark. (146) günübirlik desfluran-N₂O anestezisi altında jinekolojik laparoskopik cerrahi uygulanan 45 hastada esmolol ve esmolol-nikardipin kullanımının intraoperatif akut hemodinamik değişiklikler ve postoperatif derlenme üzerine etkilerini araştırmışlar. Esmolol uygulanan grupta kalp hızında, esmolol-nikardipin uygulanan grupta ise ortalama arteriyel basınçta olmak üzere endotrakeal entübasyona akut hemodinamik cevabın azaldığını tespit etmişler. Desfluran-N₂O'a adjuvan olarak uygulanan esmolol infüzyonunun erken derlenmeye ve postoperatif analjezik ihtiyacını azaltmaya etkili olduğunu saptamışlar. Colomo ve ark. (147) hızlı derlenme uygulanan günübirlik jinekolojik hastalarda desfluran anestezisi sırasında remifentanil'e alternatif olarak esmolol kullanımını karşılaştırmışlar. Desfluran-N₂O anestezisi altında hemodinamik stabiliteyi sağlamak için esmolol infüzyonunun remifentanil infüzyonuna alternatif olarak kullanılabilceğini rapor etmişler. Çukdar ve ark. (148) yüksek akım ve düşük akım desfluran anestezisinin hemodinami ve anestezik gaz tüketimine etkisini karşılaştırmışlar. KH ve OAB ölçümlerinde gruplar arasında fark bulamamışlar ve desfluranın düşük akımlı anestezide yeterli anestezi

derinliği, hemodinamik stabilité sağladığı kanısına varmışlar. Çalışmamızda anestezi derinliğini standardize etmek için BIS monitörizasyonu uyguladık ve gruplar arasında BIS değerleri açısından farklılık saptanmadı.

Endotrakeal entübasyona sempatoadrenal yanıt yüksek akım grubunda artış göstermiştir. Yüksek akım grubunda endotrakeal entübasyon sırasında BIS değerinin yüksekliği bu sonuçta yüzeysel anestezinin etkisi ile açıklanabilir. Ayrıca esmolol infüzyonu ve plazmada etkin konsantrasyona ulaşması için gerekli sürenin kısalığının da rolü olabilir. Desfluran ile düşük akım uygulanan anestezi grubunda esmolol infüzyonunun sempatolitik etkileri de göz önüne alınarak anestezi derinliğini azaltabilir. Bu konu, ileride yapılacak kontrollü prospektif randomize çalışmalara gereksinim göstermektedir.

Çalışmamızda yüksek akım anestezisi ile parasempatik aktivitede artış görülmüştür. Esmolol infüzyonu bu gruptaki hastalarda sempatik-parasempatik aktivite dengesini parasempatik sistem lehine değiştirmiş olabilir. Bununla beraber bu gruptaki hastalarda KH ve arter basıncında müdahale gerektirecek azalma saptanmamıştır. Yüksek akım grubundaki hastalarda endotrakeal entübasyona sempatoadrenal yanıt olarak değerlendirebilecek KH ve arter basıncında artış gözlenmiş, gruplar arasında diğer gözlem peryotlarında belirgin bir farklılık saptanmamıştır. Olasılıkla indüksiyondaki sempatik aktivitenin devamı esmololun etkisinin geç başlaması ile ilgilidir. Weiskopf ve ark. (149) 1 MAK'dan daha fazla desfluran anestezisi altında esmolol ile geçici kardiyovasküler cevap artışının azaltılabilceğini göstermişler.

Düşük akım anestezisi MAK değerlerinde cerrahi insizyon, 15, 30 ve 45. dk. değerlerinde beklenildiği gibi azalmaya neden olmaktadır. Çalışmanın temel amacı düşük akım anestezisinin MAK değerleri ve anestezi tüketimine etkisi olmadığından bu yönde bir hesaplama yapılmamıştır.

Erken derlenme skorları açısından yüksek akım grubu daha avantajlı görülmektedir. Bununla birlikte gruplar arasındaki yarımdakika altındaki farklılık klinik açıdan önemli bulunmamaktadır.

SONUÇ VE ÖNERİLER

1. Esmolol ile kontrollü hipotansiyon uygulanan septorinoplasti hastalarında desfluran ile yapılan düşük akım anestezisinin QT dispersiyonuna önemli bir etkisinin olmadığı görüldü.
2. Desfluran ile uygulanan düşük akım anestezisi global sempatik aktiviteyi ve düşük frekans indeksini artırdı.
3. Yüksek akım anestezisi ile yüksek frekans indeksinde artış gözlendi.
4. Yüksek akım grubunda endotrakeal entübasyona sempatoadrenal yanıt artışı belirlendi.
5. Derlenme skorları yüksek akım grubu lehine azalma gösterdi.

Yukarıda belirtilen sonuçlar ve literatür bulguları ışığında desfluran ile uygulanan düşük akım anestezisinin yüksek akım uygulanan grup kadar güvenilir olduğu sonucuna varıldı. Esmolol infüzyonunun yüksek akım anestezisi uygulanan grupta sempatoadrenal yanımı engellemesi için anestezi indüksiyonu öncesi başlanılmasının uygun olacağı düşünüldü. Desfluran ile düşük akım uygulanan anestezi grubunda esmolol infüzyonunun sempatolitik etkileri de göz önüne alınarak anestezi derinliğinin azaltılabilceği düşünülmekle birlikte bu konuda kontrollü prospektif randomize çalışmalar gereksinim bulunmaktadır.

KAYNAKLAR

1. Fee JP, Thompson GH. Comparative tolerability profiles of the inhaled anaesthetics. *Drug Saf.* 1997; 16(3): 157-170.
2. Pagel PS, Kampine JP, et al. Influence of volatile anesthetics on myocardial contractility in vivo: desflurane versus isoflurane. *Anesthesiology* 1991; 74(5): 900-907.
3. Heart rate variability: standards of measurement, physiological interpretation and clinical use. Task Force of the European Society of Cardiology and the North American Society of Pacing and Electrophysiology. *Circulation* 1996; 93(5): 1043-1065
4. Pöyhönen M, Syväoja S, et al. The effect of carbon dioxide, respiratory rate and tidal volume on human heart rate variability. *Acta Anaesth Scand* 2004; 48(1): 93-101.
5. Gare M, Schwabe DA, et al. Desflurane, sevoflurane and isoflurane affect left atrial active and passive mechanical properties and impair left atrial-left ventricular coupling in vivo: analysis using pressure-volume relations *Anesthesiology* 2001; 95(3): 689-698.
6. Weiskopf RB, Holmes MA, et al. Cardiovascular effects of I653 in swine. *Anesthesiology* 1988; 69(3): 303-309.
7. Pagel PS, Hetrick DA, et al. Desflurane and isoflurane exert modest beneficial actions on left ventricular diastolic function during myocardial ischemia in dogs. *Anesthesiology* 1995; 83(5): 1021-1035.
8. Hetrick DA, Pagel PS, et al. Desflurane, sevoflurane, and isoflurane impair canine left ventricular-arterial coupling and mechanical efficiency. *Anesthesiology* 1996; 85(2): 403-413.
9. De Hert SG, Van der Linden PJ, et al. Effects of desflurane and sevoflurane on length-dependent regulation of myocardial function in coronary surgery patients. *Anesthesiology* 2001; 95(2): 357-363.

10. Thomson IR, Bowering JB, et al. A comparison of desflurane and isoflurane in patients undergoing coronary artery surgery. *Anesthesiology* 1991; 75(5): 776-781.
11. Grundmann U, Müller M, et al. Cardiovascular effects of desflurane and isoflurane in patients with coronary artery disease. *Acta Anaesth Scand* 1996;40(9):1101-1107.
12. Eyraud D, Benmalek F, et al. Does desflurane alter left ventricular function when used to control surgical stimulation during aortic surgery? *Acta Anaesth Scand* 1999; 43(7): 737-743.
13. Weiskopf RB, Cahalan MK, et al. Cardiovascular actions of desflurane in normocarbic volunteers. *Anesth Analg* 1991; 73(2): 143-156.
14. Cahalan MK, Weiskopf RB, et al. Hemodynamic effects of desflurane/nitrous oxide anesthesia in volunteers. *Anesth Analg* 1991; 73(2): 157-164.
15. Kely C, Schneider A, et al. Sinusoidal neck suction for evaluation of baroreflex sensitivity during desflurane and sevoflurane anesthesia. *Anesth Analg* 2002; 95(6): 1629-1636.
16. Avramov MN, Griffin JD, et al. The effect of fresh gas flow and anesthetic technique on the ability to control acute hemodynamic responses during surgery. *Anesth Analg* 1998; 87(3): 666-670.
17. Işık Y, Goksu S, et al. Low flow desflurane and sevoflurane anaesthesia in children. *Eur J Anaesthesiol* 2006 ;23(1): 60-64.
18. Toğal T, Ayas A, et al. Düşük akımlı anestezide izofluran ve desfluran ile vücut ağırlığına göre uygulanan taze gaz akımlarının karşılaştırılması. *Türk Anest Rean Der Dergisi* 2004; 32: 91-99.
19. Yıldız TŞ, Baykara N, et al. Düşük akımlı desfluran anestezisinde klonidinin titreme üzerine etkisi. *Türk Anest Rean Der Dergisi* 2005; 33: 29-35.
20. Forrest JB, Rehder K, et al. Multicenter study of general anesthesia. III. Predictors of severe perioperative adverse outcome. *Anesthesiology* 1992; 76(1): 3-15.

21. Paris SDT, Cafferkey M, et al. Comparison of sevoflurane and halothane for outpatient dental anesthesia in children. Br J Anaesth 1997; 79(3): 280-284.
22. Johansson A, Lundberg D, et al. Low-flow anaesthesia with desflurane: kinetics during clinical procedures. Eur J Anaesthesiol 2001; 18(8): 499-504.
23. Baum JA. Update in inhalation anesthesia with special consideration of low flow. Acta Anaesth Scand 1997; 111: 264-267.
24. Boezaart AP., von der Merwe J. et al. Comparison of sodium nitroprusside- and esmolol-induced controlled hypotension for functional endoscopic sinus surgery. Can J Anaesth. 1995; 42 (5 Pt 1):373-376.
25. Karabayırı S, Alķış N. İnhalasyon Anestezikleri in Anestezide Güncel konular. Özatamer O, Alķış N, Batislam Y, Yörükoğlu Küçük D eds. Nobel, İstanbul, 2002:71.
26. Donald R, Stanski Steven L, Shafer. Monitoring Depth of Anesthesia. Miller RD, Cucchiara RF, Miller ED, Roizen MF, Savarese JJ(ed) Anesthesia 6. edition Churchill Livingstone Philadelphia USA 2000 Chapter 29; 1087-1116
27. Stoelting RK, Longnecker DE, et al: Minimum alveolar concentrations in man on awakening from methoxyflurane, halothane, ether and fluroxene anesthesia: MAC awake. Anesthesiology 1970; 33(1): 5-9.
28. Yakaitis RW, Blitt CD, et al. End-tidal halothane concentration for endotracheal intubation. Anesthesiology 1977; 47(4): 386-388.
29. Roizen MF, Horrigan RW, et al. Anesthetic doses blocking adrenergic (stress) and cardiovascular responses to incision—MAC BAR. Anesthesiology 1981; 54(5): 390-398.,
30. Morgan EG, Mikhail SM, Murray MJ. Inhalational Anesthetics In Clinical Anesthesiology. Lange 3rd. ed.; 127-150
31. Angel A: Central neuronal pathways and the process of anaesthesia. Br J Anaesth 1993; 71(1): 148-163 .

32. Kendig JJ: In vitro networks: Subcortical mechanisms of anesthetic action. *Br J Anaesth* 2002; 89(1): 91-101.
33. Péréon Y, Bernard JM, et al: The effects of desflurane on the nervous system: from spinal cord to muscles. *Anesth Analg* 1999;89(2):490-495
34. Borges M, Antognini JF: Does the brain influence somatic responses to noxious stimuli during isoflurane anesthesia? *Anesthesiology* 1994; 81(6): 1511-1515.
35. Eger EI 2nd, Koblin DD, et al: Hypothesis: Inhaled anesthetics produce immobility and amnesia by different mechanisms at different sites. *Anesth Analg* 1997; 84(4): 915-918.
36. Donald D. Koblin. Mechanisms of Action. Miller RD, Cucchiara RF, Miller ED, Roizen MF, Savarese JJ.(ed) Anesthesia 6. edition Churchill Livingstone Philadelphia USA 2000 Chapter 3; 48-73
37. Griffiths R, Norman RI. Effects of anaesthetics on uptake, synthesis and release of transmitters. *Br J Anaesth* 1993; 71(1): 96-107.
38. Pagel PS, Warltier DC. Anesthetics and left ventricular function. In:Warltier DC(ed): Ventricular Function. Baltimore, Williams and Wilkins, 1995, pp 213-252
39. Wheeler DM, Katz A, et al. Volatile anesthetic effects on sarcoplasmic reticulum Ca content and sarcolemmal Ca flux in isolated rat cardiac cell suspensions. *Anesthesiology* 1994; 80(2): 372-382,
40. Paul S. Page, Judy R. Kertsen, Neil E. Farber, David C. Warltier. Cardiovascular Pharmacology. Miller R.D., Cucchiara R.F., Miller E.D., Roizen M.F., Savarese J.J.(ed) Anesthesia 6. edition Churchill Livingstone Philadelphia USA 2000 Chapter 5A; 96-124
41. Ozhan M, Sill JC, et al. Volatile anesthetics and agonist-induced contractions in porcine coronary artery smooth muscle and Ca^{2+} mobilization in cultured immortalized vascular smooth muscle cells. *Anesthesiology* 1994; 80(5): 1102-1113.
42. Harkin CP, Pagel PS, et al. Direct negative inotropic and lusitropic effect of isoflurane. *Anesthesiology* 1994; 81(1):156-167,.

43. Pagel PS, Kampine JP, et al. Alteration of left ventricular diastolic function by desflurane, isoflurane, and halothane inn the chronically instrumented dog with autonomic nervous system blockade. *Anesthesiology* 1991; 74(6): 1103-1114.
44. Humphrey LS, Stinson DC, et al. Volatile anesthetic effects on left ventricular relaxation in swine. *Anesthesiology* 1990; 73(4): 731-738.
45. Doyle RL, Foëx P, et al. Effects of halothane on left ventricular relaxation and early diastolic coronary blood flow in the dog. *Anesthesiology* 1989; 70(4): 660-666.
46. Pagel PS, Hettrick DA, et al. Left ventricular mechanical consequences of dihydropyridine calcium channel modulation in conscious and anesthetized chronically instrumented dogs. *Anesthesiology* 1994; 81(1): 190-208.
47. Pagel PS, Kampine JP, et al: Reversal of volatile anesthetic-induced depression of myocardial contractility by extracellular calcium also enhances left ventricular diastolic function. *Anesthesiology* 1993; 78(1): 141-154
48. Pagel PS, Hettrick DA, et al. Amrinone enhances myocardial contractility and improves left ventricular diastolic function in conscious and anesthetized chronically instrumented dogs. *Anesthesiology* 1993; 79(4):753-765.
49. Pagel PS, Lowe D, et al. Isoflurane but not halothane improves indices of diastolic performans in dogs with rapid ventricular, pacing induced cardiomyopathy. *Anesthesiology* 1996; 85(3): 644-654.
50. Bosnjak ZJ, Kampine JP. Effects of halothane, enflurane, and isoflurane in the SA node. *Anesthesiology* 1983; 58(4): 314-321,
51. Kotrly KJ, Ebert TJ, et al. Baroreceptor reflex control of heart rate during isoflurane anesthesia in humans. *Anesthesiology* 1984; 60(3): 173-179.
52. Berry PB, Sessler DI, et al. Severe carbon monoxide poisoning during desflurane anesthesia. *Anesthesiology* 1999; 90(2): 613-616.

53. Ebert TJ, Muzi M: Sympathetic hyperactivity during desflurane anesthesia in healthy volunteers: A comparison with isoflurane. *Anesthesiology* 1993; 79(3): 444–453.
54. Weiskopf RB, Eger I 2nd, et al. Cardiovascular stimulation induced by rapid increases in desflurane concentration in humans results from activation of tracheopulmonary and systemic receptors. *Anesthesiology* 1995; 83(6): 1173-1178.
55. Ebert TJ, Harkin CP, et al. Cardiovascular responses to sevoflurane: A review. *Anesth Analg* 1995; 81(6 suppl): S11–S22.
56. Eger I 2nd. New inhaled anesthetics. *Anesthesiology* 1994;80(4):906-922.
57. Pagel PS, Kampine JP, et al. Comparison of the systemic and coronary hemodynamic actions of desflurane, isoflurane, halothane, and enflurane in the chronically instrumented dog. *Anesthesiology* 1991; 74(3): 539–551.
58. Lowe D, Hetrick DA, et al. Influence of volatile anesthetics on left ventricular afterload in vivo: Differences between desflurane and sevoflurane. *Anesthesiology* 1996; 85(1): 112-120.
59. Kroll DA, Knight PR, et al. Antifibrillatory effects of volatile anesthetics in acute occlusion/reperfusion arrhythmias. *Anesthesiology* 1984; 61(6): 657–661,
60. Turner LA, Polic S, et al. Actions of halothane and isoflurane on Purkinje fibers in the infarcted canine heart: Conduction, regional refractoriness, and reentry. *Anesth Analg* 1993; 76(4): 718–725.
61. Schmeling WT, Warltier DC, et al. Prolongation of the QT interval by enflurane, isoflurane, and halothane in humans. *Anesth Analg* 1991; 72(2): 137–144.
62. Kies SJ, Pabelick CM, et al. Anesthesia for patients with congenital long QT syndrome. *Anesthesiology* 2005;102(1):204-10
63. Atlee JL 3rd, Malkinson CE. Potentiation by thiopental of halothane-epinephrine-induced arrhythmias in dogs. *Anesthesiology* 1982; 57(4): 285–288.

64. Turner LA, Vodanovic S, et al. A subtype of alfa 1 adrenoreceptor mediates depression of conduction in purkinje fibers exposed to halothane. *Anesthesiology* 1995; 82(6): 1438-1446.
65. Vodanovic S, Turner LA, et al. Actions of phenylephrine, isoproterenol, and epinephrine with halothane on endocardial conduction and activation in canine left ventricular papillary muscles. *Anesthesiology* 1997; 87(1): 117-126.
66. Hayashi Y, Sumikawa K, et al. Arrhythmogenic threshold of epinephrine during sevoflurane, enflurane, and isoflurane anesthesia in dogs. *Anesthesiology* 1988; 69(1): 145-147.
67. Weiskopf RB, Eger EI 2nd, et al. Epinephrine-induced premature ventricular contractions and changes in arterial blood pressure and heart rate during I-653, isoflurane, and halothane anesthesia in swine. *Anesthesiology* 1989; 70(2): 293-298.
68. Woehlck HJ, Vicenzi MN, et al. Anesthetics and automaticity of dominant and latent pacemakers in chronically instrumented dogs. I: Methodology, conscious state, and halothane anesthesia: Comparision with and without muscarinic blockade during exposure to epinephrine. *Anesthesiology* 1993; 79(6): 1304-1315.
69. Woehlck HJ, Vicenzi MN, et al. Anesthetics and automaticity of dominant and latent pacemakers in chronically instrumented dogs. IV. Dysrhythmias after sinoatrial node excision. *Anesthesiology* 1995; 82(6): 1447-1455.
70. Kersten JR, Schmeling TJ, et al. Isoflurane mimics ischemic preconditioning via activation of KATP channels. Reduction of myocardial infarct size with an acute memory phase. *Anesthesiology* 1997; 87(2): 361-370.
71. Davis RF, DeBoer LW, et al. The effect of halothane anesthesia on myocardial necrosis, hemodynamic performance, and regional myocardial blood flow in dogs following coronary artery occlusion. *Anesthesiology* 1983; 59(5): 402-411.

72. Cope DK, Impastato WK, et al. Volatile anesthetics protect the ischemic rabbit myocardium from infarction. *Anesthesiology* 1997; 86(3): 699–709.
73. Cason BA, Gamperl AK, et al. Anesthetic-induced preconditioning. Previous administration of isoflurane decreases myocardial infarct size in rabbits. *Anesthesiology* 1997; 87(5): 1182–1190.
74. Yasuda N, Lockhart SH, et al. Kinetics of Desflurane, Isoflurane, and Halothane in humans. *Anesthesiology* 1991; 74(3): 489–498.
75. Eger I 2nd. Partition Coefficients of I-653 in Human Blood, Saline, and Olive Oil. *Anesth Analg* 1987; 66(10): 971–973.
76. Taylor RH, Lerman J. Minimum Alveolar Concentration of Desflurane and Haemodynamic Responses in Neonates, Infants, and Children. *Anesthesiology* 1991; 75(6): 975–979.
77. Rampil IJ, Lockhart SH, et al. Clinical Characteristics of Desflurane in Surgical Patients: Minimum Alveolar Concentration. *Anesthesiology* 1991; 74(3): 429–433.
78. Smiley RM, Ornstein E, et al. Desflurane and isoflurane in surgical patients: comparison of emergence time. *Anesthesiology* 1991; 74(3): 425–428.
79. Baum J.A. Düşük akımlı anestezi, minimal akımlı ve kapalı sistemle Anestezide kuram ve uygulama (Edt:Tomatır E.). Düşük taze gaz akımlı anestezi uygulaması için teknik gereksinimler (Çev: Öztürk E.). Nobel Tıp Kitapevi, İstanbul, 2002: 111–173.
80. Andrews JJ, Johnston RV., et al. The new Tec 6 desflurane vaporizer. *Anesth Analg* 1993; 76(6): 1338–1341.
81. Baxter PJ, Kharasch ED: Rehydration of desiccated baralym prevents carbon monoxide formation from desflurane in anesthesia machine. *Anesthesiology* 1997; 86(5): 1061–1065.
82. Frink E.J., Nogami WM, et al. High carboxy hemoglobin concentrations occur in swine during desflurane anesthesia in the presence of partially dried carbon dioxide absorbents. *Anesthesiology* 1997; 87(2): 308–316.

83. Wissing H, Kuhn I, et al. Carbon monoxide production desfluran, enflurane, halothane, isoflurane and sevoflurane with dry sodalime. *Anesthesiology* 2001; 95(5): 1205-1212.
84. Jackie L, Martin Jr, et al. Metabolism and Toxicity of Modern Inhaled Anesthetics. Morgan G.E., Mikhail M.S.(ed), Churchill Livingstone Newyork 6 edition Churchill Livingstone USA 2000 Chapter 6; 147-173.
85. Leung JM, Pastor DA. Dissociation between haemodynamics and sympathetic activation during anaesthetic induction with desflurane. *Can J Anaesth* 1998; 45(6); 533-540.
86. Weiskopf RB, Moore MA, et al. Rapid increase in desflurane concentration is associated with greater transient cardiovascular stimulation than rapid increase in isoflurane concentration in humans. *Anesthesiology* 1994; 80(5): 1035-1045.
87. Lockhart SH, Rampil IJ, et al. Depression of Ventilation by Desflurane in Humans. *Anesthesiology* 1991; 74(3): 484-488.
88. Jones RM, Cashman JN, et al. Clinical impressions and cardiorespiratory effects of a new fluorinated inhalation anaesthetic, desflurane (I-653), in volunteers. *Br J Anaesth*. 1990 Jan; 64(1): 11-15.
89. Ornstein E, Young WL, et al. Desflurane and isoflurane have similar effects on cerebral blood flow in patients with intracranial mass lesions. *Anesthesiology* 1993 Sep; 79(3): 498-502.
90. Rampil IJ, Lockhart SH, et al. The Electroencephalographic effects of desflurane in humans. *Anesthesiology* 1991; 74(3): 434-439.
91. Caldwell JE, Lester MJ, et al. The neuromuscular effects of desflurane, alone and combine with pancuronium or succinylcholine in humans. *Anesthesiology* 1991; 74(3); 412-418.
92. Jones RM, Koblin DD, et al. Biotransformation and hepato-renal function in volunteers after exposure to desflurane (I-653). *Br J Anaesth*. 1990; 64(4): 482-487.

93. Sum CY, Yacobi A, et al. Kinetics of esmolol, an ultra-short acting beta blocker, and of its major metabolite. *Clin.Pharmacol Ther* 1983; 34(4): 427-434
94. Turlapaty P, Laddu A, et al. Esmolol: a titratable short-acting intravenous beta blocker for acute critical care settings. *Am Heart J* 1997; 114(4 pt 1): 866- 885,
95. Wilson ES, McKinlay S, et al. The influence of esmolol on the dose of propofol required for induction of anaesthesia. *Anaesthesia* 2004; 59(2): 122-126
96. London MJ, Zaugg M, et al. Perioperative b-Adrenergic Receptor Blockade: Physiologic Foundations and Clinical Controversies. *Anesthesiology* 2004; 100(1): 170-175.
97. Murthy VS, Patel KD, et al. Cardiovascular and neuromuscular effects of esmolol during induction of anesthesia. *J Clin Pharmacol.* 1986; May-Jun; 26(5): 351-7
98. Baum J.A. Düşük akımlı anestezi, minimal akımlı ve kapalı sistemle anestezide kuram ve uygulama (Edt: Tomatır E.). *Anestezide yeniden-solutmalı teknığın üstünlükleri* (Çev: Tomatır E.), Nobel Tıp Kitapevi, İstanbul, 2002: 88-110
99. Foldes F, Ceravolo AJ et al. The administration of nitrous oxide oxygen anesthesia in closed systems. *Ann Surg* 1952; 136(6): 978-981.
100. Foldes FF, Duncalf D. Low flow anesthesia: a plea for simplicity. In Lawin P, van Aken H and Scheneider U, eds, *Alternative Methoden in der Anasthesie*. Schriftenreihe, Bd. 50. Thieme, Stuttgart, 1985, pp.1-7
101. Baum J.A. Düşük akımlı anestezi, minimal akımlı ve kapalı sistemle anestezide kuram ve uygulama (Edt: Tomatır E.). *Düşük taze gaz akımlı anestezi yöntemleri* (Çev: Balkan B.K), Nobel Tıp Kitapevi, İstanbul, 2002: 53-72.
102. Baum J.A. Düşük akımlı anestezi, minimal akımlı ve kapalı sistemle anestezide kuram ve uygulama (Edt: Tomatır E.). *Klinik uygulamada düşük akımlı anestezi* (Çev: Bozkurt P.). Nobel Tıp Kitapevi, İstanbul, 2002: 220-268).

103. Baum J.A. Düşük akımlı anestezi, minimal akımlı ve kapalı sistemle anestezide kuram ve uygulama (Edt: Tomatır E.). Düşük akımlı anestezide hasta güvenliği boyutu (Çev: Tomatır E.), Nobel Tıp Kitapevi, İstanbul, 2002: 191-219.
104. Baum J.A. Düşük akımlı anestezi, minimal akımlı ve kapalı sistemle anestezide kuram ve uygulama (Edt: Tomatır E.). Anestezik gazların farmakokinetiği (Çev: Balkan B.K.), Nobel Tıp Kitapevi, İstanbul, 2002: 38-53.
105. Baum J.A. Düşük akımlı anestezi, minimal akımlı ve kapalı sistemle anestezide kuram ve uygulama (Edt: Tomatır E.). İnhalasyon anestezisinin denetimi (Çev: Tomatır E.), Nobel Tıp Kitapevi, İstanbul, 2002: 73-87.
106. McKenzie AJ. Reinforcing a “low-flow” anesthesia policy with feedback can produce a sustained reduction in isoflurane consumption. *Anaesth Intensive Care* 1998; 26(4): 371-376..
107. Logan M, Farmer JG. Anaesthesia and the ozone layer. *British Journal of Anaesthesia* 1989; 63(6):645-647
108. Radke J, Fabian P. The ozone layer and its modification by N₂O and inhalation anaesthetics. *Anaesthetist* 1991; 40(8): 429-433.
109. Morita S, Latta W, et al. Acumulation of methane, acetone, and nitrogen in the inspired gas during closed-circuit anaesthesia. *Anaesth Analg* 1985; 64(3): 343-347
110. Moon RE. Carbonmonoxide gas may be linked to CO₂ absorbent. *Anaesthesia Patient Safety Foundation Newsletter* 1991; 11-12
111. Murray JM, Renfrew CW, et al. Amsorb:A new carbon dioxide absorbent for use in anesthetic breathing systems. *Anesthesiology* 1999; 91(5): 1342-1348
112. Neumann MA, Laster MJ, et al. The elimination of sodium and potassium hydroxides from desiccated soda lime diminished degradation of desflurane to carbon monoxide and sevoflurane to compound A but does not compromise carbon dioxide absorption. *Anesth Analg* 1999; 89(3): 768-773.

113. Holter NJ: New method for heart studies. *Science* 1961; 20(134): 1214-1220
114. Kowey PR, Kocovic DZ. Ambulatory Electrocardiographic Recording. *Circulation* 2003; 108; e31-e33
115. Hingham PD, Campell RWF. QT dispersion: a review. *Br J Anaesth* 1994; 71(6): 508-510.
116. Day CP, McComb JM,et al. QT dispersion: An indication of arrhythmia risk in patients with long QT intervals. *BR. Heart J* 1990; 63(6): 342-344.
117. Barr CS, Naas A, Freeman M,et al. QT dispersion and sudden unexpected death in chronic herat failure. *Lancet* 1994; 343(8893): 327-329.
118. Tomassoni G, Pisano E,et al. QT prolongation and dispersion in myocardial ischemia and infarction. *J Am Coll Cardiol* 1997; 30(suppl): 1331-1338.
119. De Bruyne MC, Hoes AW, et al. QTc dispersion predics cardiac mortality in the eldery: The Rotterdam Study. *Circulation* 1998; 97(5): 467-472.
120. Booker PD, Whyte SD,et al. Long QT sydrome and anaesthesia. *Br J Anaesth* 2003; 90(3): 349-366.
121. Guler N, Bilge M, et al. The effects of halothane and sevoflurane on QT dispersion. *Acta cardiol* 1999; 54(6): 311-315.
122. Kleinsasser A, Kuenzberg E, et al. Sevoflurane, but not propofol, significantly prolongs the QT interval. *Anesth Analg* 2000; 90(1): 25-27.
123. Pshenichnikov I, Shipilova T, et al. QT dispersion in relation to left ventricular geometry and hypertension in a population study. *Scand Cardiovasc J*. 2003 May;37(2):87-90
124. Pagani M, Lombardi F, et al. Power spectral analysis of heart rate and arterial pressure variabilities as a marker of sympatho-vagal interaction in man and conscious dog. *Circ Res*. 1986 Aug;59(2):178-93

125. Nakatsuka I, Ochiai R, Et al. Changes in heart rate variability in sevoflurane and nitrous oxide anesthesia: effects of respiration and depth of anesthesia. *J Clin Anesth.* 2002 May;14(3):196-200
126. Morgan GE, Mikhail MS, Murray MJ, Larson CP. Patient Monitors. Larson CP. *Clinical Anesthesiology*. Third Edition. United States of America, McGraw-Hill Companies, 2002:86-126
127. Kearse LA, Rosow C, et al. Bispectral analysis of the electroencephalogram predicts conscious processing of information during propofol sedation and hypnosis . *Anesthesiology* 1998;88(1): 25-34
128. Burrow B, McKenzie B, et al. Do anaesthetized patients recover better after Bispectral Index Monitoring? *Anaesth. Intensive Care* 2001;29(3):239-245
129. Aldrete JA. The post-anesthesia recovery score revisited. *J Clin Anesth* 1995;7(1):89-91
130. Yildirim H, Adanır T, et al. The effects of sevoflurane and desflurane on QT interval of the ECG. *Eur J Anaesth* 2004; 21(7): 566-570.
131. Saarnivaara L, Lindgren L: Prolongation of QT interval during induction of anaesthesia. *Acta Anaesthesiologica Scandinavica* 1983 27(2):126-130.
132. Schouten EG, Dekker JM, et al. QT interval prolongation predicts cardiovascular mortality in an apparently healthy population *Circulation* 1991; 84(4):1516-1523
133. Özkoçak I, Kirdemir P, et al. Laparoskopik girişimlerde QT mesafesi değişiklikleri. *Türk Anest Rean Cem Mecmuası* 1999; 27:186-189.
134. Abe K, Takada K, et al. Intraoperative torsades de pointes ventricular tachycardia and ventricular fibrillation during sevoflurane anesthesia. *Anesth Analg* 1998; 86(4):701-702.
135. Sen S, Ozmert G, et al. Comparison of single-breath vital capacity rapid inhalation with sevoflurane %5 and propofol induction on QT interval and haemodynamics for laparoscopic surgery. *Eur J Anaesth* 2004; 21(7): 543-546

136. Karagöz AH, Başgül E, et al. The effect of inhalational anaesthetics on QTc interval. Eur J Anaesth 2005; 22(3):171-174
137. Reisli R, Çelik J, et al. Halotan ve sevofluranın QT intervaline etkisi. Türk Anest Rean Cem Mecmuası 2000; 28:500-504.
138. Riley DC, Schmelling WT, et al: Prolongation of the QT interval by volatile anesthetics in chronically instrumented dogs. Anesth Analg 1988;67(8):741-749
139. Michaloudis D, Fraidakis O, et al: Anaesthesia and the QT interval in humans. Anaesthesia 51:219, 1996.
140. McConachie I, Keaveny JP, et al. Effect of anaesthesia on the QT interval. Br J Anaesth 1989;63(5):558-560
141. Aypar E, Karagoz AH, et al. The effects of sevoflurane and desflurane anesthesia on QTc interval and cardiac rhythm in children. Pediatric Anesthesia 2007;17(6):563-567
142. Erdil F, Demirbilek S, et al. The effect of esmolol on the QTc interval during induction of anaesthesia in patients with coronary artery disease. Anaesthesia 2009 Mar;64(3):246-50
143. Picker O, Schwarte LA, et al. Desflurane increases heart rate independent of sympathetic activity in dogs. Eur J Anaesth 2003; 20(12):945-951
144. Shubert A, Palazzolo JA, et al. Heart rate, heart rate variability, and blood pressuere during perioperative stressor events in abdominal surgery. J of Clinical Anesthesia 1997; 9(1):52-60.
145. Choi, Seung Ho, Kim, Chang Seok et al. Single Dose of Esmolol Blunts the Increase in Bispectral Index to Tracheal Intubation During Sevoflurane but not Desflurane Anesthesia. Journal of Neurosurgical Anesthesiology 2009; 21(3): 214-217
146. White PF., Wang B. et al. The effect of intraoperative use of esmolol and nicardipin on recovery after ambulatory surgery. Anesth Analg. 2003;97(6): 1633-1638.
147. Coloma M, Chiu JW. et al. The use of esmolol as an alternative to remifentanil during desflurane anesthesia for fast-track outpatient

- gynecologic laparoscopic surgery. Anesth Analg. 2001 Feb;92(2):352-357.
148. Çukdar G., Özkoçak Turan I., et al. Düşük ve yüksek akım desfluran anestezisinin hemodinamiye ve anestezik gaz tüketimine etkilerinin karşılaştırılması. Türk Anest Rean Der Dergisi 2008; 36(4): 222-229
149. Weiskopf RB, Eger EI 2nd, et al. Fentanyl, esmolol, and clonidine blunt the transient cardiovascular stimulation induced by desflurane in humans. Anesthesiology. 1994 Dec;81(6):1350-5